



04492

MICROFICHE N°

République Tunisienne

MINISTÈRE DE L'AGRICULTURE

CENTRE NATIONAL DE

DOCUMENTATION AGRICOLE

TUNIS

الجمهورية التونسية
وزارة الزراعة

المركز القومي
للتوثيق الفلاحي
تونس

F 1

SECRET
CONFIDENTIAL

RE EXAMINATION OF THE RECORDS OF THE
U.S. MARINE CORPS
IN THE MATTER OF THE
U.S. MARINE CORPS
RECORDS OF THE

per

U.S. MARINE CORPS RECORDS IN THE DIRECTION
OF THE U.S. MARINE CORPS

PAGE 100

SOMMAIRE

CHAPITRE I

1. Les objets propres

2. Résumé

3. Introduction

4. Le but et le contenu

4.1. La description de l'enseignement

4.2. La simulation

4.3. Le développement

4.4. La conclusion

5. Les résultats

6. Conclusion

7. Bibliographie

8. Annexes

8.1. Annexe 1

8.2. Annexe 2

8.3. Annexe 3

8.4. Annexe 4

8.5. Annexe 5

AVANT PROPOS

Cette étude rentre dans un cadre de connaissance du fonctionnement hydrique des sols du Sud tunisien (infiltration - ruissellement).

Aussi elle permet de cerner le processus d'érodibilité des terres agricoles à différents états de surface des sols (organisation pelliculaire de surface - Cléme la graniers - occupation végétale - labour etc ...).

Après des essais et des campagnes répétitives sur des sites variés de la région de Medenine (station de Dir Labmar) et de Gabès, le mini-simulateur est de nouveau mis à l'épreuve pour des mesures sur des parcelles de 1a2 dans la région des Matmata.

Quelques résultats ont été présentés lors du dernier séminaire de Tunis. Les ouvrages hydrauliques traditionnels dans le Monde Arabe du 12 au 24 Janvier 1967 - UNESCO - UBR.

R E S U M E

La faiblesse de la production végétale en Tunisie (particulièrement dans les parcours, terres de cultures) provient, pour une grande part, d'un état hydrique des sols insuffisant et même déficitaire. Le problème de la compaction des sols (de surface, pellicule de battance ou de profondeur, structure massive) joue un rôle important sur l'infiltration des eaux et leur stockage. Le suivi apparaît donc primordial. Le simulateur de pluie est un appareil qui permet de mesurer l'infiltration de l'eau, les aptitudes des sols au ruissellement, la détachabilité des agrégats (souvent sur la turbidité des eaux recueillies). Il est très performant surtoutment lors de fortes pluies et les mesures obtenues se rapprochent des données pluviométriques observées dans le Sud tunisien (pluies violentes et agressives).

Par ailleurs l'étude met en valeur le rôle des crêtes de surface des sols de jessours (ouvrages de petite hydraulique) sur l'importance de ruissellement, l'infiltration et l'érosion et dans quelle mesure peut on appliquer cette codification sur le dimensionnement des impluviums.

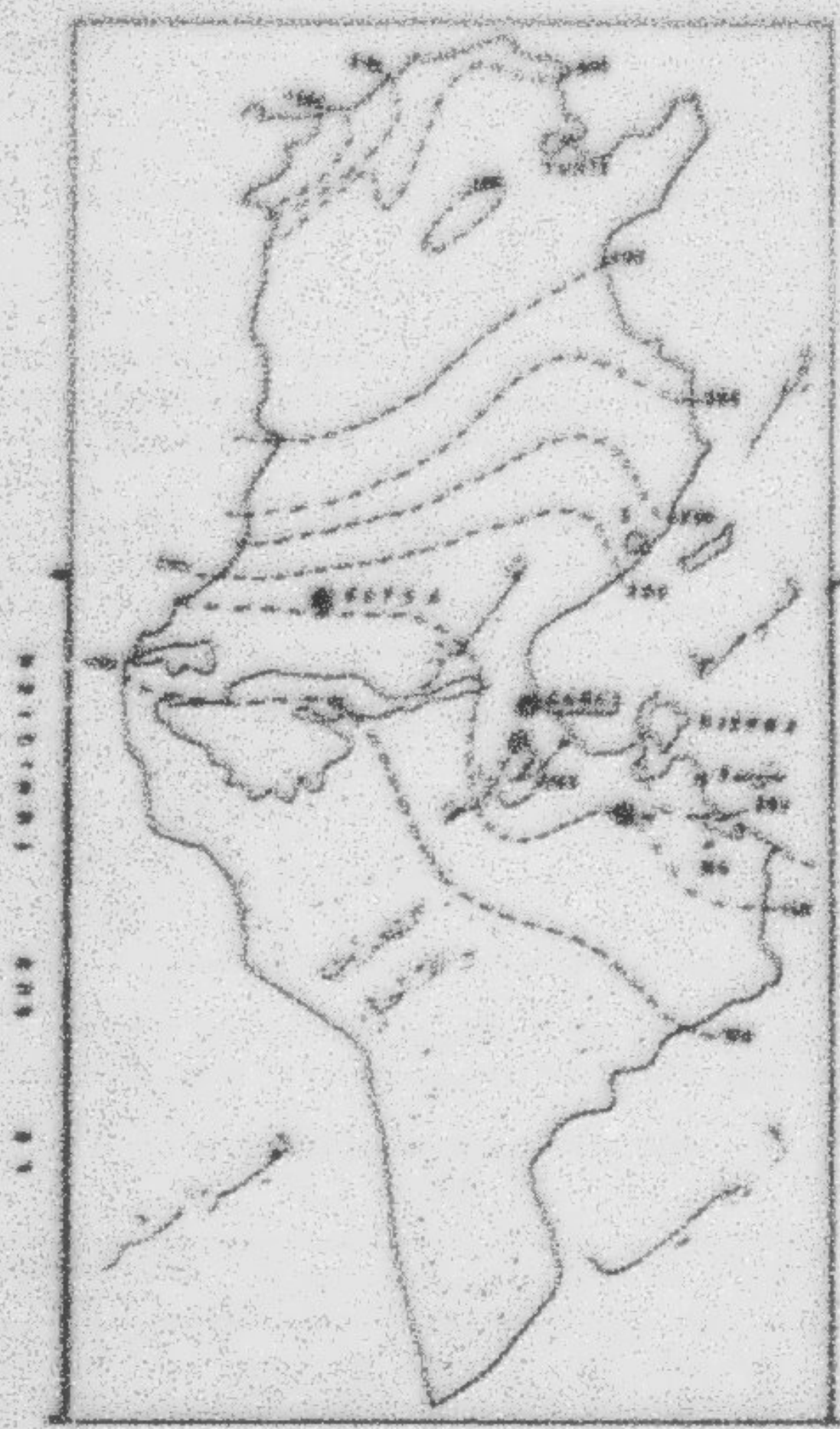


Fig. 1. Precipitation average for the year 1971-1972

INTRODUCTION

Les données géométriques du Sud-Est tunisien (Sud-Est de la Tunisie et de la Libye) font apparaître les caractéristiques de quantités de pluie dans le temps et dans l'espace (PAGGI in MATHIAS, 1963).

La pluviométrie la plus caractéristique réside en une sécheresse continue (5 à 6 ans) après quoi se suit une période pluvieuse courte en durée, mais forte en intensité. Il y arrive de constater parfois des intensités supérieures à 150 mm/j qui entraînent un ruissellement de pluie important dans les vallées dans les semaines suivantes.

La station de Sfax située à environ 35 km des côtes est très étudiée par les hydrologues (MATHIAS et al 1964, PAGGI, 1978) dont donne un exemple de quelques caractéristiques pluviométriques. Elle tient aussi à la base de deux des études appliquées dans cette étude.

Pluie annuelle (en mm)

Échelle de valeurs en années	5	10	5	Échelle de valeurs	5	10	50
Pluie annuelle (en mm)	50	61	100	176	272	314	457

L'échelle des intensités de pluie données à partir des données de pluviométrie aboutit à une détermination des hauteurs équivalentes :

Intensité liée au régime pluviométrique (en mm)

Précipitation en mm équivalente	5	10	15	30	45	75	100	200	300
0,05	144	144	100	86	75	62,01	47	37	27
0,1	116	96	72	60	47	37,41	29	23	19
0,2	70	60	46	37	30	25,71	25	19	13
0,5	56	32	30	25	22	18,21	14	12	8

continuer

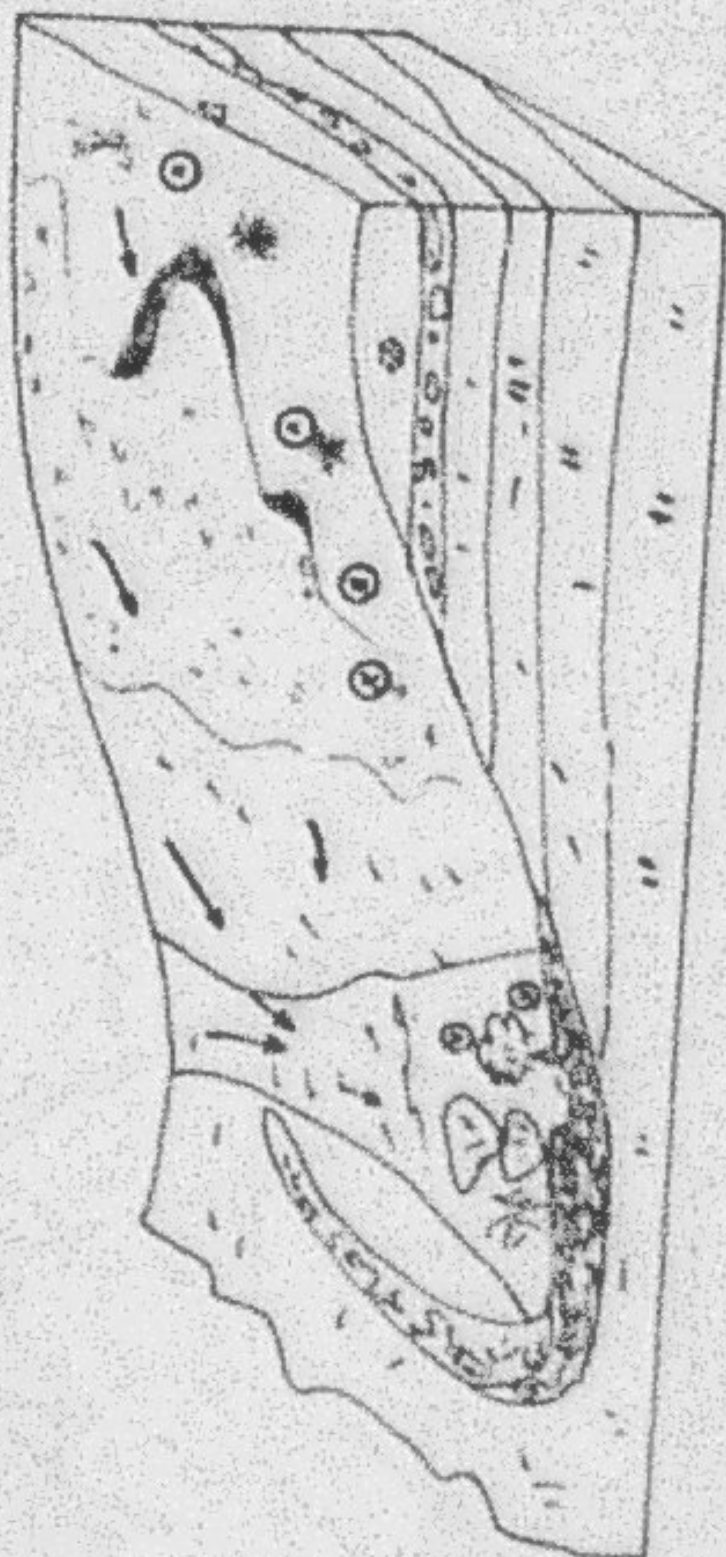


FIG. 3. — PHYSIOGRAPHIE GÉNÉRALE DU SECTEUR ÉTUDIÉ (Voir diagramme).



ruissellement



zones receptrices



crues côtières

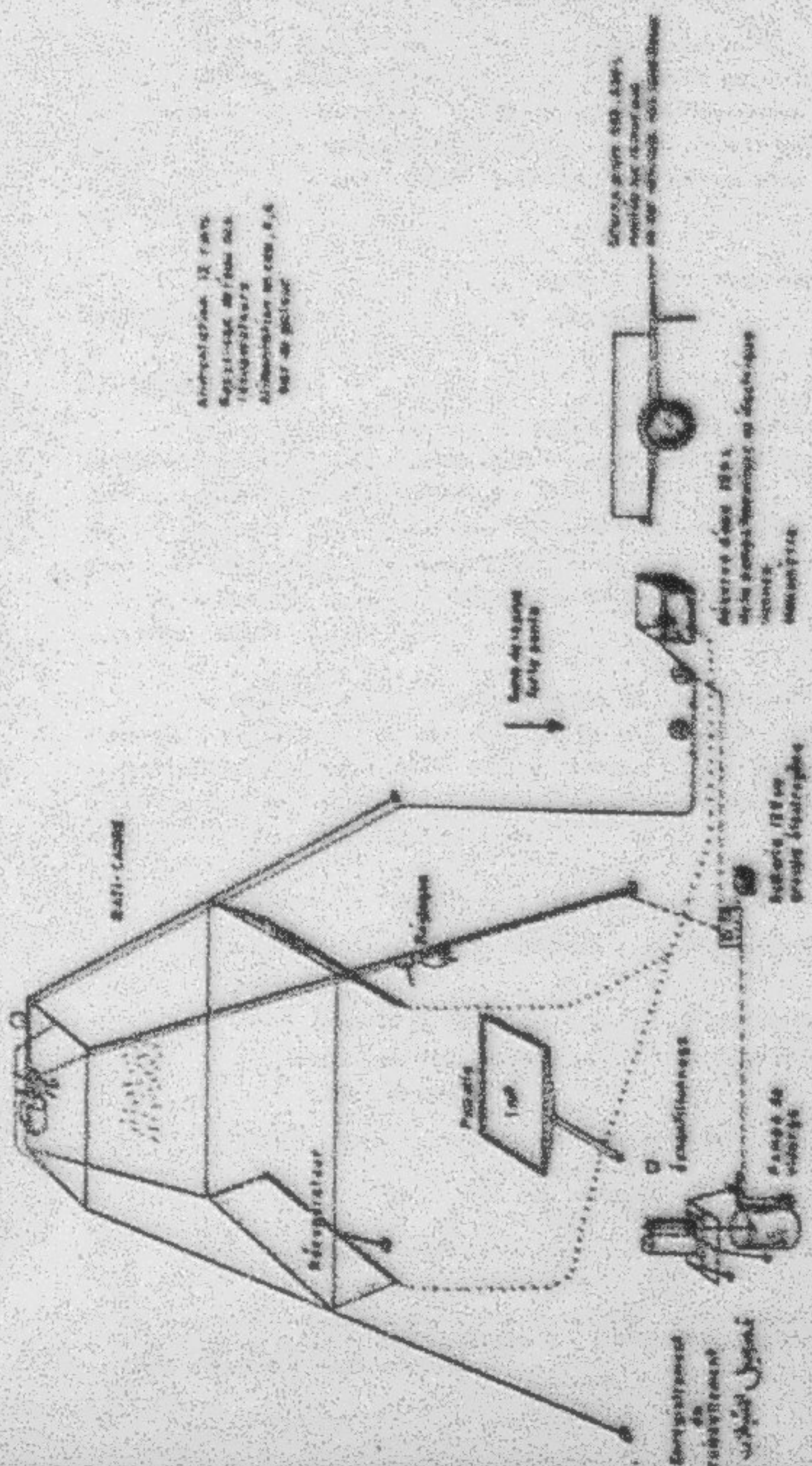


zones précipitantes



barrage hydraulique

Micro-simulation



Récepteur de 12 V
 Système de mesure de la puissance
 Système de mesure de la température
 Système de mesure de la tension, etc.
 Système de mesure

FIG. 2 - 50 WATT SIMULATION DE PUISSANCE ET ACCÉLÉRATION DES TRES GRANDES

De même on se procure des feuilles sèches des arbres (si on a
de l'argent, surtout à les acheter des Indes (souvent de petite dimension par
sont toujours avec des épaves et autres choses indésirables.
Pour avoir mieux le rendement de l'opération on se procure à l'étranger
surtout des Indes avec toutes les choses qui sont dans d'un magasin
dans les Indes (Indes).

L'usage de certains des articles précités est indiqué, par exemple
avec celui de la partie de la partie de la partie (voir page 103).

1- Matériel et méthode

Le sol est appelé sur des opérations de distribution de plantes.
L'opération est appelée surtout à l'arrangement des Indes à l'étranger
avec la collaboration de l'étranger.

Fig. 5 permet d'avoir des arbres à l'échelle variable (Indes - arbres
Indes). Il faut aussi bien savoir d'un problème que nous avons dit
à partir des données statistiques de l'échelle d'arrangement (voir page
de l'échelle Indes).

Le sol est indépendant à partir de l'usage de l'échelle,
l'échelle de la quantité d'eau utilisée dans le sol, et celle qui est utilisée
et qui détermine l'échelle. Cette échelle de sol à l'échelle de l'échelle
gagner un temps non négligeable d'arrangement, et de multiplier les opérations
dans sur les sites variés et différents.

Le protocole de l'opération s'appelle sur l'échelle avec échelle.

1- la description de l'arrangement - les le matériel de
partir -

2- à l'échelle de la station actuelle à l'échelle de la
parcelle de 1 m (voir les données de surface de sol -
en nombre de neuf)

3- Liste de l'échelle avec une partie de

- 10% (Indes)
- 5% (Indes)
- 1,5% (Indes)

4- Liste végétale occupant une bonne proportion de
la surface (voir échelle).

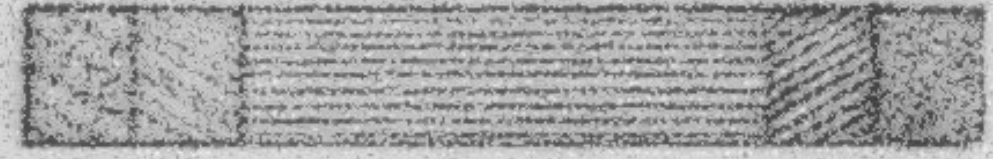
* En particulier J. KOLLER, s'adresse à l'échelle et à l'échelle, ainsi
que à l'arrangement des Indes.

Food (ref.)	Concentrations		N	Treated	HV		Cycles	Dissolved Total N	S. Org.	Remarks
	A	B			C.D.	E				
14	0-2.5	2-50	90-100	1,000	14,000	6,000	2	6,000	0,000	by de-labour
15	1-6	2-50	90-100	1,000	14,000	6,000	2	6,000	1,000	by de-labour
16	1-6	2-50	90-100	1,000	14,000	6,000	2	6,000	0,000	by de-labour
17	1-6	2-50	90-100	1,000	14,000	6,000	2	6,000	0,000	by de-labour
18	1-6	2-50	90-100	1,000	14,000	6,000	2	6,000	0,000	by de-labour
19	1-6	2-50	90-100	1,000	14,000	6,000	2	6,000	0,000	by de-labour
20	1-6	2-50	90-100	1,000	14,000	6,000	2	6,000	0,000	by de-labour
21	1-6	2-50	90-100	1,000	14,000	6,000	2	6,000	0,000	by de-labour
22	1-6	2-50	90-100	1,000	14,000	6,000	2	6,000	0,000	by de-labour
23	1-6	2-50	90-100	1,000	14,000	6,000	2	6,000	0,000	by de-labour
24	1-6	2-50	90-100	1,000	14,000	6,000	2	6,000	0,000	by de-labour
25	1-6	2-50	90-100	1,000	14,000	6,000	2	6,000	0,000	by de-labour
26	1-6	2-50	90-100	1,000	14,000	6,000	2	6,000	0,000	by de-labour
27	1-6	2-50	90-100	1,000	14,000	6,000	2	6,000	0,000	by de-labour
28	1-6	2-50	90-100	1,000	14,000	6,000	2	6,000	0,000	by de-labour
29	1-6	2-50	90-100	1,000	14,000	6,000	2	6,000	0,000	by de-labour
30	1-6	2-50	90-100	1,000	14,000	6,000	2	6,000	0,000	by de-labour

* 1958

TABLES 1-10 : DATA FROM THE INVESTIGATION OF THE

" Diet - Medical - Nutrition "



-3- Croûte de battance + touffe végétale à faible recouvrement

a- pente 11% (moyenne)

b- pente 6,5% (faible)

-4- Surface à cailloutis - pente 20%

-5- Labour

a- Traditionnel

b- Wischmeier

12- Des prélèvements de l'humidité du sol (avant et après la simulation) et de la densité apparente.

À la fin des essais, des prélèvements de la surface pour étude micromorphologique sont réalisés.

3- La simulation :

B1- À l'aide du miniculateur nous appliquons deux grandes pluies avec 3 averse à intensités différentes, 15' pour chaque averse.

- une faible = 15 à 20 mm/h
- une moyenne à assez forte = 30 - 60 à 80 mm/h
- une très forte = 120 mm/h

Entre les deux pluies, nous laissons 24h d'intervalle de temps.

B2- Sur des fiches de terrain appropriées pour les relevés de l'infiltromètre, on notera :

- Les données de l'étalonnage
- le début de la pluie
- le début du ruissellement
- les prélèvements d'échantillons d'eau (pour faire la mesure, sur la turbidité des eaux).
- la fin du ruissellement.

C- Le démantèlement des données :

Il s'effectue au retour du terrain sur :

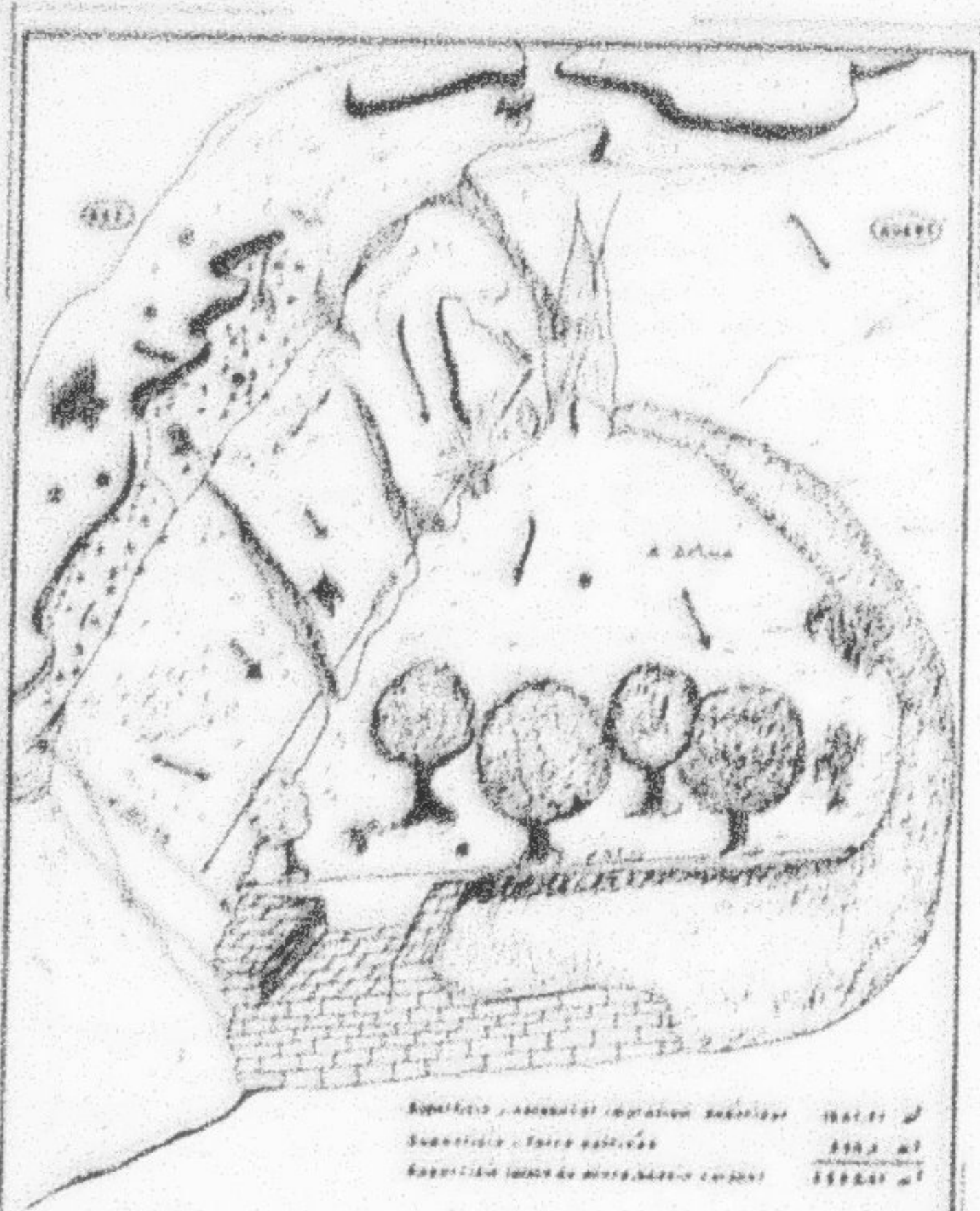
C1- Le limnigramme : c'est une vérification générale des différentes courbes et des temps de prélèvements d'eau.

.../...

- 3 -
ANNUAL REPORT ON THE PROGRESS OF THE
STATE OF AGRICULTURE

Etat des cultures	N° de parcelle	Ingrédients (kg/ha)					Fertilisants (kg)		Fus	Fus	Production métrique par/ha
		Ingrédients (kg/ha)					Fertilisants (kg)				
		11	12	13	14	15	Phosphore (P)	Potasse (K)			
Cultures sans engrais chimiques	74	21,0	30,0	22,0	-	-	15,0	15,0	15,0	22,0	100
	75	30,4	30,0	-	-	-	15,0	15,0	15,0	22,0	100
	76	20,0	-	-	-	-	15,0	15,0	15,0	22,0	100
	Total	-	-	-	-	-	45,0	45,0	45,0	66,0	300
Cultures de sésame	77	20,0	31,0	24,0	2,0	20,0	15,0	15,0	15,0	20,0	100
	78	20,0	1,0	24,0	20,0	-	15,0	15,0	15,0	20,0	100
	79	10,0	-	-	-	-	15,0	15,0	15,0	20,0	100
	Total	-	-	-	-	-	45,0	45,0	45,0	60,0	300
Cultures de sésame	74	21,0	31,0	23,0	-	-	15,0	15,0	15,0	20,0	100
	75	30,0	25,0	-	-	-	15,0	15,0	15,0	20,0	100
	76	10,0	-	-	-	-	15,0	15,0	15,0	20,0	100
	Total	-	-	-	-	-	45,0	45,0	45,0	60,0	300
Cultures de sésame	74	20,0	30,0	20,0	-	-	15,0	15,0	15,0	20,0	100
	75	10,0	30,0	-	-	-	15,0	15,0	15,0	20,0	100
	76	10,0	-	-	-	-	15,0	15,0	15,0	20,0	100
	Total	-	-	-	-	-	45,0	45,0	45,0	60,0	300
Cultures de sésame	74	20,0	30,0	20,0	-	-	15,0	15,0	15,0	20,0	100
	75	10,0	30,0	-	-	-	15,0	15,0	15,0	20,0	100
	76	10,0	-	-	-	-	15,0	15,0	15,0	20,0	100
	Total	-	-	-	-	-	45,0	45,0	45,0	60,0	300
Cultures de sésame	74	20,0	30,0	20,0	-	-	15,0	15,0	15,0	20,0	100
	75	10,0	30,0	-	-	-	15,0	15,0	15,0	20,0	100
	76	10,0	-	-	-	-	15,0	15,0	15,0	20,0	100
	Total	-	-	-	-	-	45,0	45,0	45,0	60,0	300
Cultures de sésame	74	20,0	30,0	20,0	-	-	15,0	15,0	15,0	20,0	100
	75	10,0	30,0	-	-	-	15,0	15,0	15,0	20,0	100
	76	10,0	-	-	-	-	15,0	15,0	15,0	20,0	100
	Total	-	-	-	-	-	45,0	45,0	45,0	60,0	300

Tableau N° 2



Superficie : area totala a terenului	1041,00 m ²
Superficie : teren util	810,00 m ²
Superficie teren de constructii	231,00 m ²

- 1. Ziduri
- 2. Usi
- 3. Ferestre
- 4. Placaj
- 5. Pavezi

PLANUL DE AMPLASARE AL CLADIRII

CP- L'introduction des données au micro-ordinateur Casio - PB 700 à partir d'un programme préalable (MIDNET et al, 1986 et 1987). Nous aurons :

- un calcul sur le ruissellement en m^3/h du débit solide en g/h (ruissellement \times turbidité).
- Des courbes réalisées dans la phase impression des résultats.

B- Le site :

Il appartient au secteur Madaj - Tijan et a été choisi en fonction de l'accès (facilité de traverser les versants pour l'alimentation en eau environ 1600 litres de consommation).

C'est aussi un secteur où le glais loessique du Pleistocène supérieur est très raviné, très représentatif de ce milieu typique des Matas. Ceci nous a permis de distinguer deux niveaux :

- Un niveau supérieur à végétation steppique très dégradée et à forte pente (10-25%) comportant 9 variétés d'états de surface.
- Un niveau inférieur à cultures - terre agricole destinée à la céréaliculture et à l'arboriculture avec une faible pente (5-10%).

2- Les résultats :

Les renseignements ont été nombreux et variés.

En effet le tableau n°2, nous donne un aperçu global sur les différents paramètres : pluie - infiltration - érosion - des 9 états de surface du sol.

- 1- La pluie efficace est donnée par le rapport entre les valeurs de l'infiltration et les intensités de pluie. Elle atteint 20% (craie battance à 20% de pente) et 80% au labour.
- 2- L'érosion exprimée sur $1m^2$ varie de 0,168 tonne à 1,73 tonne à l'hectare, et l'infiltration de 76,9 mm à 10,3 mm (labour Wischaier et craie de battance à 20% de pente) avec une averse de 80 mm/h . Cette variation est liée essentiellement à l'organisation superficielle et la couverture du sol et de l'état hydrique initial.

.../...

VALEUR DE RESISTANCE AU RALINER

" Stabilisé "

R_x (kg/m²)

ETATS DES SURFACES	SOL SEC			SOL HUMIDE			
	15°/20° mm/s	15°/40° mm/s	15°/60° mm/s	20°/40° mm/s	15°/40° mm/s	15°/20° mm/s	
Sol non labouré	Surfaces très caillouteuses avec gravillons p 40%	8,0	10,5	77,1	75,0	64,0	90,0
	Grèste de battance de pente 4,5%	2,5	11,3	44,1	25,1	38,0	108,5
	Grèste de battance de pente 3%	5,3	14,7	27,0	70,2	55,3	125,1
	Touffes de végétation d'alfa avec microbuttes	2,9	9,2	60,3	-	-	-
Sol labouré	Labour frais dans le jour	-	-	-	10,0	9,0	76,0
	Labour Wischmeier	-	-	-	-	16,3	115,7

Tableau N° 1

- 1- Il est établi que le poids d'eau des différents sols en fonction de leur état de saturation est après la première pluie est de l'ordre de 10 mg pour l'état 1 (solonchaks) et de 25 mg pour l'état 2 (solonchaks à pente 20%). Rappelons que la valeur de l'humidité de l'eau est de 10% en (fig. 9) et que les valeurs des différents profils hydrologiques des 5 états de surface sont également d'égale importance.
- 2- Les fortes valeurs d'humidité que l'on trouve les terres salées humides, en effet de tout les phases d'humidité inférieures à 10 mg/m qui sont les plus bénéfiques.
- 3- Le rendement total par le coefficient 100 (tableau n°2), est de 70,7% (état 1). C'est une valeur forte. La plus faible est celle correspondante au labour traditionnel (encore plus faible que celle du labour intensif, peut être parce qu'on a appliqué une pluie de 100 mm/h 1).
- 4- Le même rendement maximum, est aussi en fonction des phases de surface de sol associée à la pente, et l'état hydrologique de départ (comme nous l'avons déjà signalé) et de la technique culturale. Ainsi d'après le tableau n°3, il apparaît qu'un labour traditionnel d'un sol est en faveur par le rendement et correspond au labour intensif standard.
- 5- L'occupation végétale à la surface du sol a une conséquence directe sur le rendement. A des pentes assez rapprochées nous trouvons des valeurs d'infiltration et de rendement différentes. Ainsi il ressort de cette feuille et la partie adrienne du vignoble dans le rôle "régulation" (voir tableau n°3).
- 6- L'humidité, en étroite relation avec le rendement agricole est exprimée par le détachement des agrégats et micro-agrégats de sol en particules transportables sur un mètre carré. A partir des données de tableau n°2, nous concluons qu'il n'existe pas une relation directe entre l'importance du rendement et la quantité de sol érodé. Exp : culture de betterave à 20 et 4,5%.

.../...

TABLEAU N° 1

Etat de surface	EXPOSITION		OBTUSION		Angle (deg)	Moyenne de l'angle fait avec le plan de la surface ou angle de réflexion	Moyenne de l'angle fait avec le plan de la surface ou angle de réflexion
	N (deg)	E (deg)	SE (deg)	E (deg)			
Surface de la craie de la pente	10,7	44,5	77,4	77,7	50	"	"
Surface de la craie de la pente	11,1	31,3	71,0	16,9	47	4,81	0,7,3

Tableau de l'angle de réflexion par l'obliquité =

le coefficient = l'obliquité

TABLEAU N° 2 - Répartition de la surface des pentes dans la
pente de la

Type	Orientation en deg	Exposition (deg)	Angle (deg)	Observations
71	44,5	10,7	44,1	Les feuilles qui craquent
77	77,4	77,7	30,4	Angle de la pente
75	77,7	30,4	30,5	Pente plane

Aussi si nous considérons les deux états : labour traditionnel et croûte de battance 20% de pente, nous trouvons pour le dernier état un Eru 79,7% et une érodibilité de 582 kg/ha contre un Eru 16,5% et une érodibilité de 479 kg/ha pour le premier état.

A l'échelle du m² ruisselé, nous avons 6 kg/ha sont érodés pour le 2^{ème} cas contre 20 kg/ha pour le premier cas d'où 3,5 fois de plus.

La croûte de battance est-elle mieux placée par rapport au labour lors de fortes pluies pour ces types de sol ?

Tous ces processus d'érosion et d'accusulation sont confirmés à l'échelle du jessour par la dimension de l'alluvionnement à l'aval en fonction du temps (des années pluvieuses).

CONCLUSION

Malgré une observation et un suivi sur 1 m² d'espace et qui restent tout de même limités à de situations ponctuelles dont il faut se méfier pour la grande extrapolation (MILNET et al, 1987), nous soulignons que l'étude a permis dans une large mesure et selon des sites comparatifs très représentatifs, de montrer l'importance de l'état de surface sur le fonctionnement hydrique des sols de jessour : infiltration - ruissellement et érosion.

En outre il apparaît que :

1- L'importance du ruissellement sur l'état : croûtes de battance et le rôle imminent de la couverture végétale.

2- L'impact du labour traditionnel sur la bonne infiltration et l'augmentation du stock hydrique des sols.

3- L'érosion est en étroite relation avec le ruissellement sur un état de surface battant et sans couverture végétale.

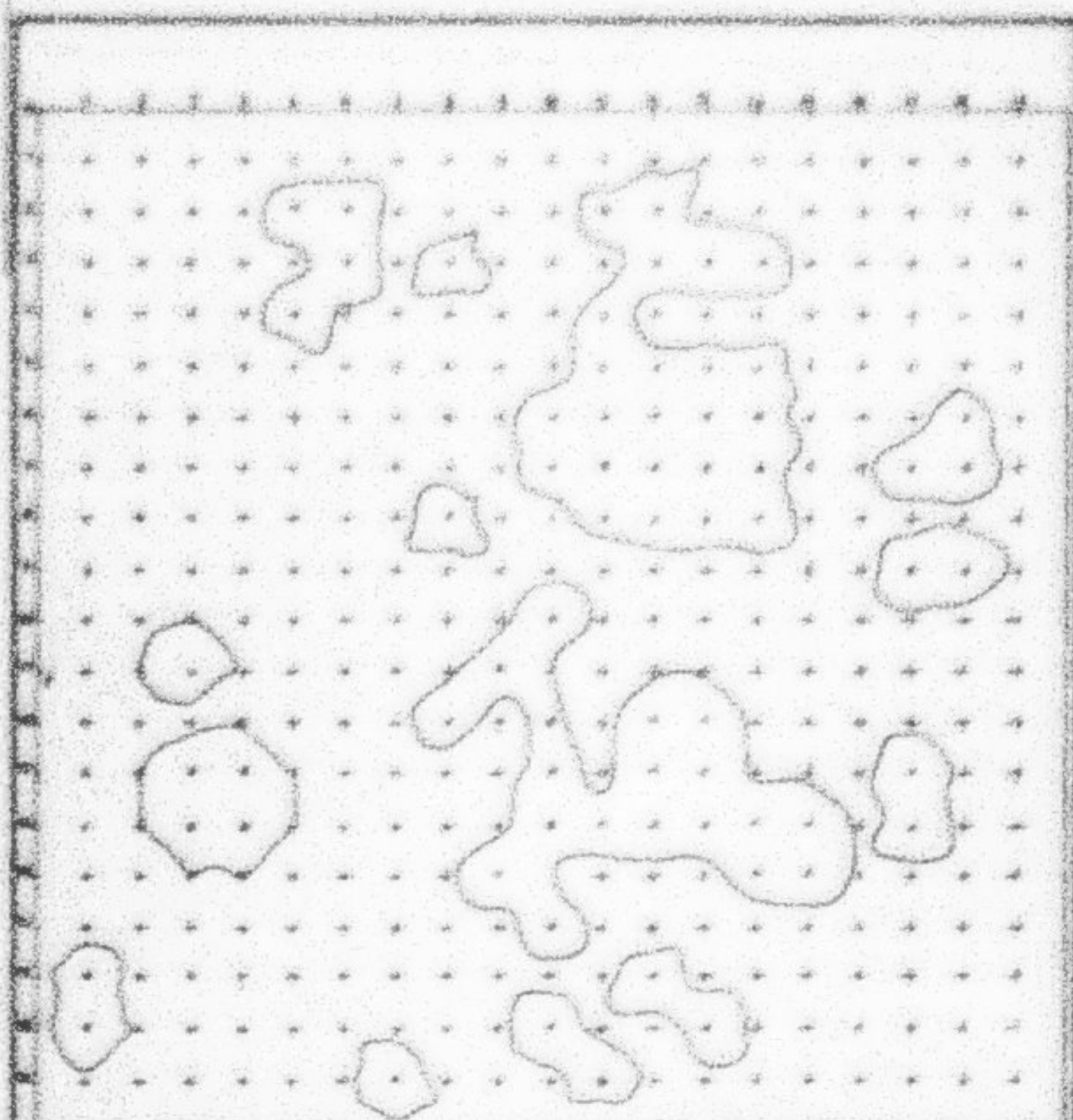
4- Il se confirme que les sols sur un matériau localique (région des Matmata et ses proches bordures) présentent à l'état naturel une surface battante suite à une réorganisation superficielle des particules sous l'impact des gouttelettes de pluies et des processus-humectation-dessèchement (MILNET, 1985, 1986) - que ces sols ont une faible rétention de l'eau et ils se liquéfient facilement. Quand on pense que les ouvrages (tabias) sont réalisés à partir de ce matériau par compaction.

.../...

3- Fa toutes les caractéristiques hydrologiques, il s'agit d'être réalisable de respecter la surface agricole derrière l'ouvrage et que les extensions périphériques de l'ont qu'augmenter les aménagements de l'ouvrage hydraulique.

4- Les nouveaux travaux de construction et de maintenance des ouvrages doivent tenir compte de :

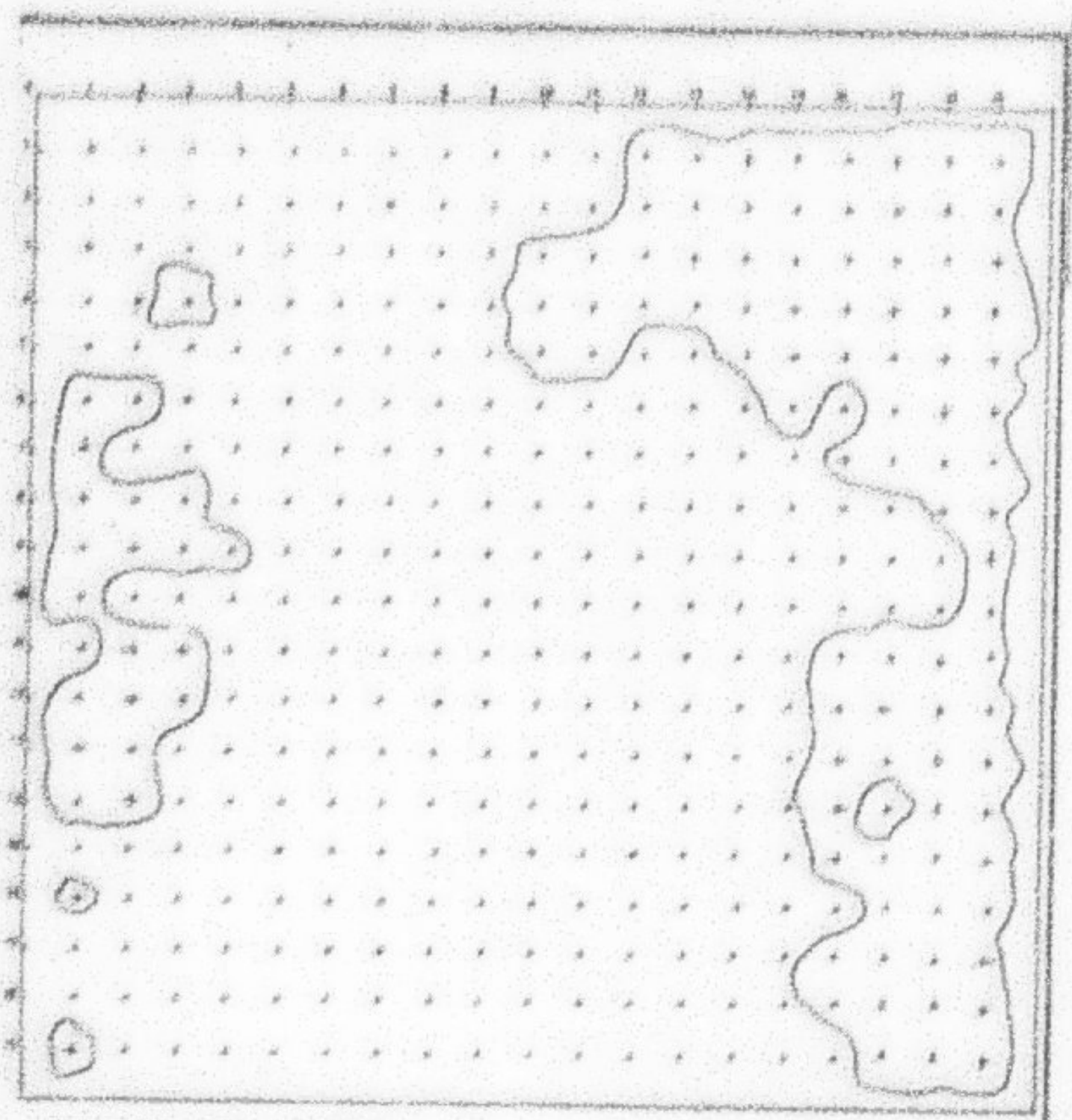
- la pente générale
- la superficie agricole exploitée pour mieux servir les (niveaux) hauteurs d'eau lors de fortes crues.
- de même les caractéristiques physiques et géotechniques du matériau utilisé. Peut-on utiliser la même dans ces ouvrages ? L'expérience est déjà lancée dans un certain des environs de Matamoras Nouvelle (Thomson) pour des essais et les tests de suivi sur le comportement des ouvrages de petite hydraulique vis à vis de l'entretien.



Map description: Valley of ...
 ...

- primary ...
- digital ...
- water ...
- ...

Parcel ID	123
Area (sq ft)	...

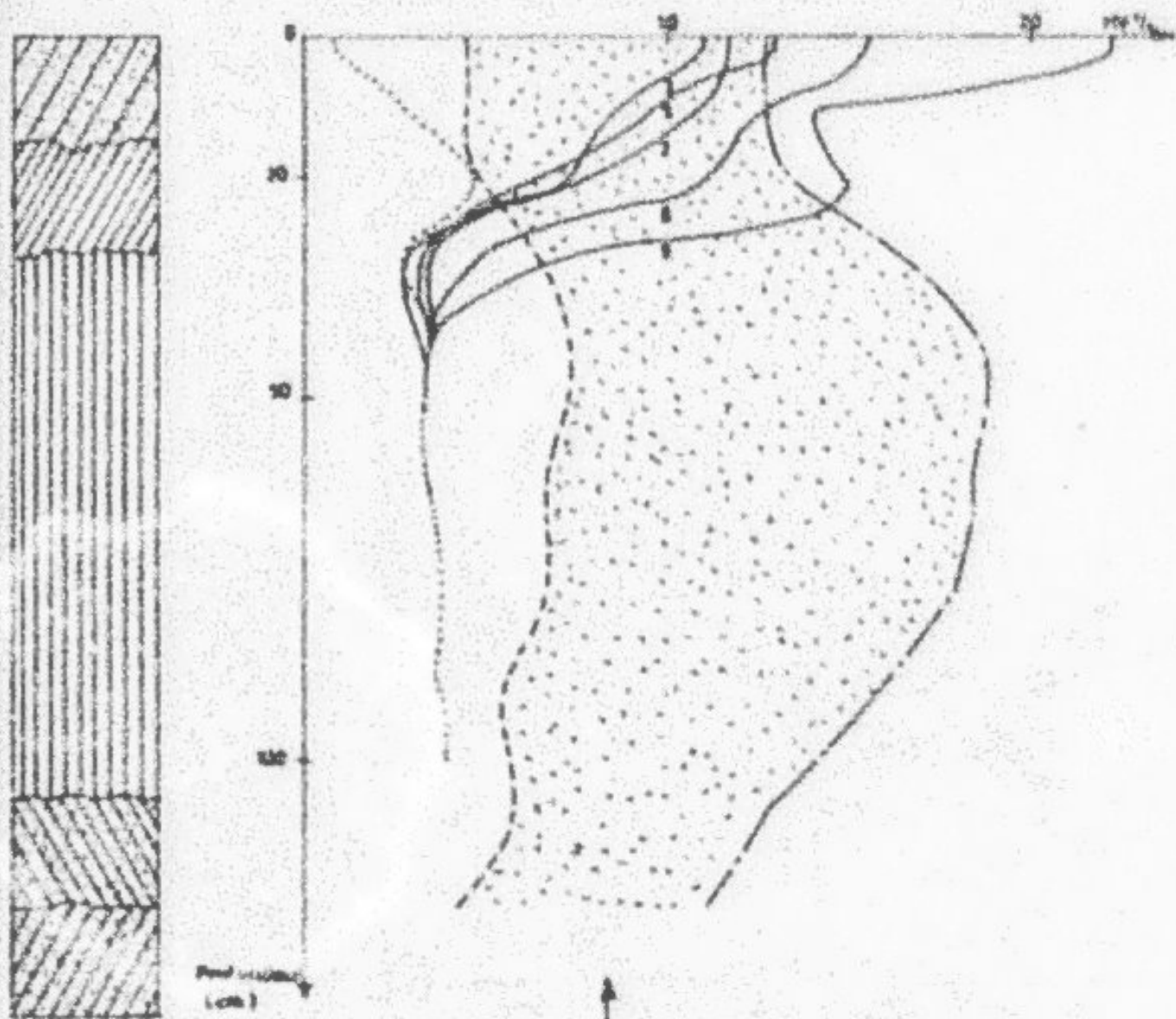


Mapa de áreas e pontos de amostragem

Área 1 (A)	15
Pontos de amostragem	Áreas de vegetação e pontos de amostragem

- : Pontos de amostragem
- ◊ : Vegetação alta
- ◊ : Vegetação baixa
- ◊ : Sem vegetação

PROFILS HYDRIQUES COMPARES DES ETATS
DE SURFACE DE SOL

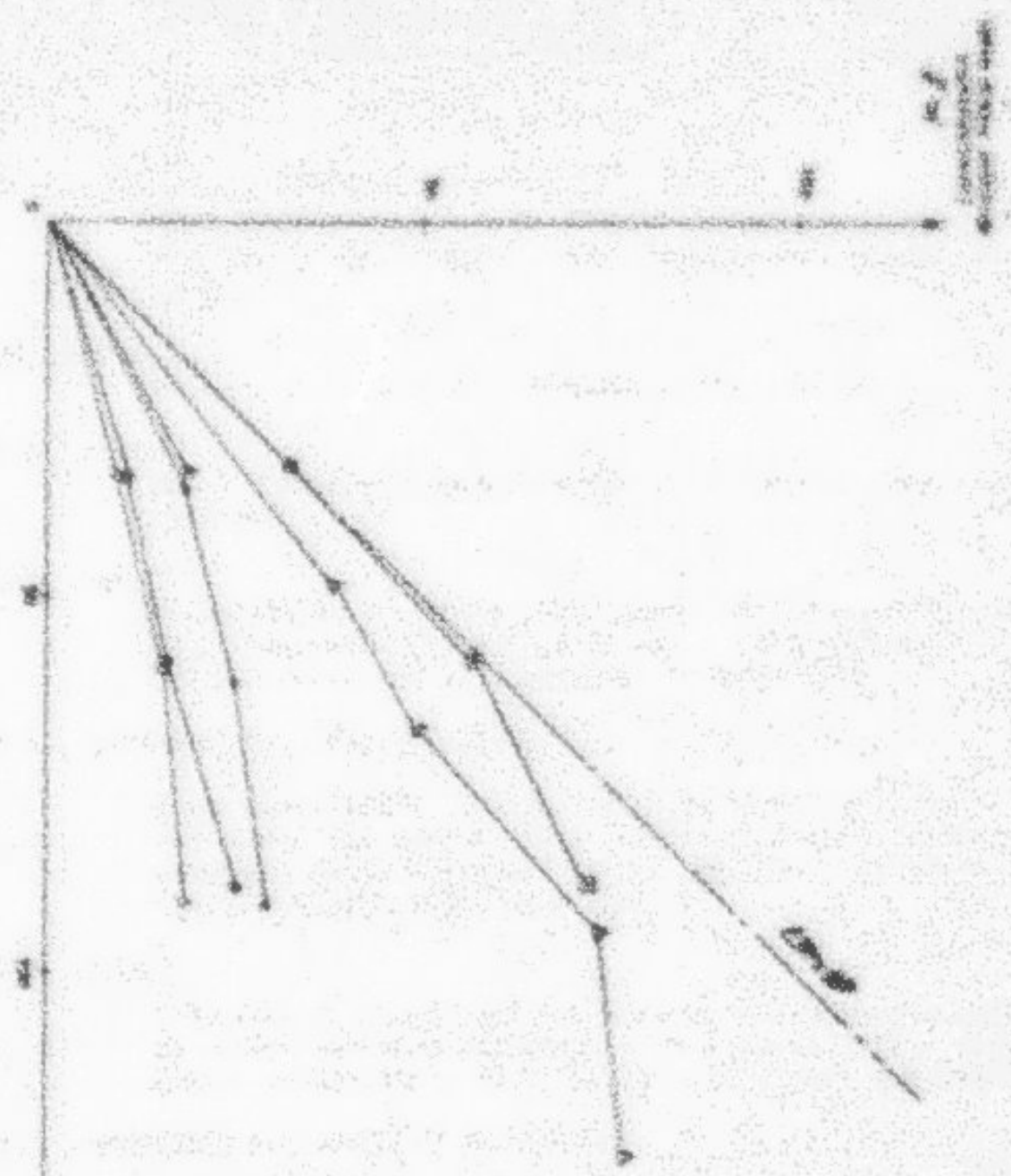


LEGENDE

- Horizon limon-sableux
 - Horizon limoneux
 - Horizon texture équilibrée
 - Horizon sable-limoneux
- } Sol de fer

- Profil hydrique avant pluie
- Profil hydrique (10 jours après pluie)
- 1 : Crête de battance de pente 4,5 %
- 2 : Crête de battance de pente 20 %
- 3 : Touffes de végétation d'été avec microbulle de pente 4,5 %
- 4 : Labour trois fois de suite de pente 10,5 %
- 5 : Labour Winckmeier de pente 2 %

- Humidité équivalente 16 bars (P.P. 4,2)
- Humidité équivalente 0,5 bars (P.P. 2,5)
- Réserve utile
- WV % : Humidité volumique



- 1. Courbe de la consommation de la population 10%
- 2. Courbe de la consommation de la population 15%
- 3. Courbe de la consommation de la population 20%
- 4. Courbe de la consommation de la population 25%
- 5. Courbe de la consommation de la population 30%

Fig 8 - QUANTITE DE LA BIEN ENFANTA EN FONCTION DU COURS DE LA BIEN ENFANTA

Point d'instabilité
C.P.

ANNUAIRE DE L'INSTITUT NATIONAL DE RECHERCHES AGRICOLES

MEYER S., FLEURY S., GIBAUD S., PROFFENGER H. (1956)

Etude de l'eau sur les plantes du Sud tunisien (type Segui)
1956, 22, 2232 - GIBAUD - Ecole Sup. Agr. - Montpellier,
14 p.

MEYER S. (1956)

Recherches physiologiques de l'eau - INR - 1956.

MEYER S. (1956)

Water relations in arid soils - The Intern. Conf. of Soil
Science.

MEYER S. (1957)

Contribution à l'étude physiologique des plantes du Sud
tunisien. Thèse de spécialité - Univ. Pierre et Marie
Curie - Paris 125 p. + annexes, 7 cartes h. t.

MEYER S., MICHARDI S., AMMICHEN (1958)

Etude expérimentale de la dynamique superficielle d'un
sol aride (Niz Lahnar - Sud tunisien). Résultats des
mesures de sécheresse aux plantes simulées - Direction
des Soles TUNIS, 6 p., 22 = 231.

MEYER S. (1958)

L'écoulement épidermique dans les Soudans (une nouvelle approche
de caractérisation du solillon dans une épigée d'un sol
aride méditerranéen), 10 p., 22 = 234 - Direction des Soles TUNIS.

MEYER S., FLEURY S., AMMICHEN J. (1958)

- à paraître - Une méthode de caractérisation en zone aride
et semi-aride des états des surfaces érosionnelles (1 et)
Soles de Tunisie.

POSTALIERE R., FLEURY S., FOUA, SAHBI, ESTEL BOUTEL, THENE B. (1954)

Comportement hydrique et sensibilité à l'évaporation de quelques
sols du Sud Tunisien - Institut des Rech. Géol. et
Minières - Centre de Rech. Agric. Yassoué - Sousse - 76 p.

WISSEMAN W.S. -(1959)

A rainfall index for an arid soil - Les fonctions -
Agron. Exp. 12, 5 pp - 456 - 462 et 474.

INDEX

- Solo ab initio
- Solo ab initio per se
- Solo ab initio per se et alia
- Solo ab initio per se et alia et alia
- Solo ab initio per se et alia et alia et alia
- Solo ab initio per se et alia et alia et alia et alia
- Solo ab initio per se et alia et alia et alia et alia et alia
- Solo ab initio per se et alia et alia et alia et alia et alia et alia

Abréviations utilisées

- I : Intensité de l'averse (mm/h)
- Krs : L_r/P_e : coefficient de ruissellement "efficace" (%)
- KE % : Coefficient d'efficacité de la pluie dans la recharge
des réserves du sol $KE = \frac{L_i}{P_u}$ %
- Kra = L_r/P_a : Coefficient de ruissellement (%)
- Lr : Lane ou hauteur d'eau ruisselée (mm)
- Pi : Pluie d'inhibition (mm)
- Pu : Pluie utile ou hauteur totale (mm)
- Rr : Ruissellement maximum stabilisé (mm/h)
- $W = P_u - L_r$: Lane infiltrée (mm)

Légende des courbes : ——— pluie simulée (mm/h)
———— ruissellement (mm/h)
..... débit solide (g/h)

R E F E R E N C E S

Etat de surface	Niveau infiltrométrique N° sonde	Répartition N° Plate
Surface très caillouteuse avec gravillons	77	3
Craie de battance	78	5
Craie de battance	79	5
Craie de battance + T. Végétale peu dense	78	1
Touffes de végét. d'Alfa avec microbottes	79	1
Sol battu ni	76	3
Craie de battance + T. Végétale peu dense	77	3
Labour frais dans le jour	78	3
Labour Wischmeier	79	4

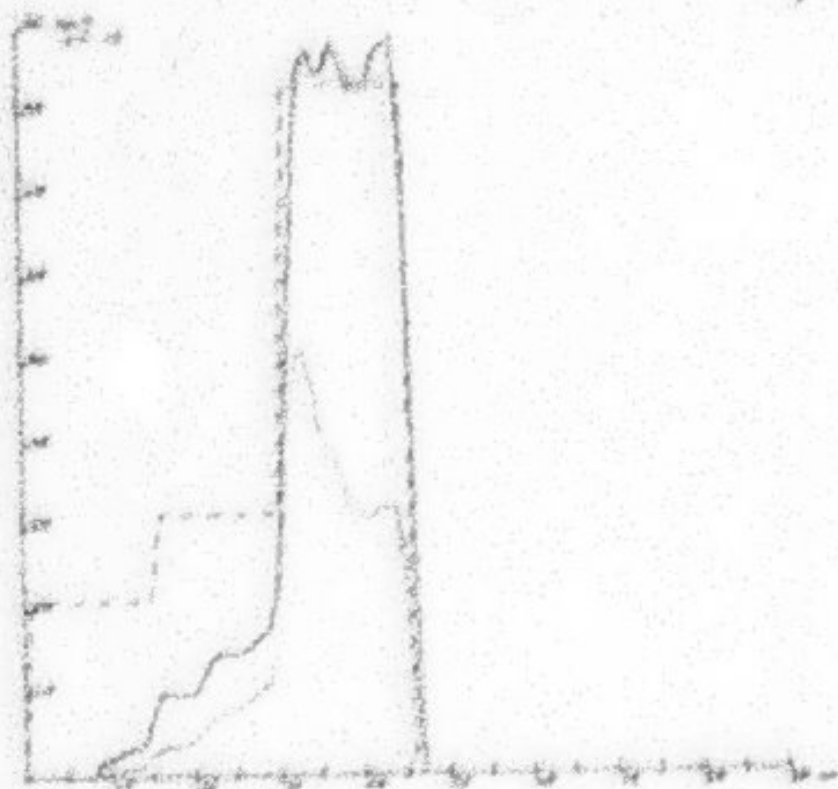
STATE OF TEXAS
 DEPARTMENT OF COMMERCE
 BUREAU OF METERS

REGISTRATION AND TESTING
 OF METER

DATE	DESCRIPTION	AMOUNT	REMARKS	INITIALS	AMOUNT
1914
1915
1916
1917
1918
1919
1920
1921
1922
1923
1924
1925
1926
1927
1928
1929
1930
1931
1932
1933
1934
1935
1936
1937
1938
1939
1940
1941
1942
1943
1944
1945
1946
1947
1948
1949
1950

DATE	DESCRIPTION	AMOUNT	REMARKS	INITIALS	AMOUNT
1
2
3
4
5
6
7
8
9
10
11
12
13
14
15
16
17
18
19
20
21
22
23
24
25
26
27
28
29
30
31
32
33
34
35
36
37
38
39
40
41
42
43
44
45
46
47
48
49
50
51
52
53
54
55
56
57
58
59
60
61
62
63
64
65
66
67
68
69
70
71
72
73
74
75
76
77
78
79
80
81
82
83
84
85
86
87
88
89
90
91
92
93
94
95
96
97
98
99
100

NO. DEB.	HAUTEUR (cm)	DIAMETRE (cm)	PERIMETRE (cm)	COURBURE (cm)
1	31	31	260	1489
2	34	31	259	859
3	38	31	259	768
4	42	31	260	753
5	44	31	260	727



HAUT P2-1

110285

NO. DEB.	DIAMETRE (cm)	HAUTEUR (cm)	PERIMETRE (cm)	PI (cm)	PC (cm)	PRO (cm)	H (cm)	EROS (cm)	
1	31.8	31.8	5.3	8.4	3.8	7.3	6.7	8.7	
2	31.8	31.4	7.9	3.4	8.8	7.9	43.4	3.5	
3	31.8	37.8	28.8	28.7	8.8	22.8	35.8	18.7	
TOT.	45.8	45.1	37.9	34.5	3.8	38.8	72.3	3.4	27.4

HAUT SPALGARDRE

*** INFILTROMETRE *** - 21 -
 ESSAI No HD P4-1

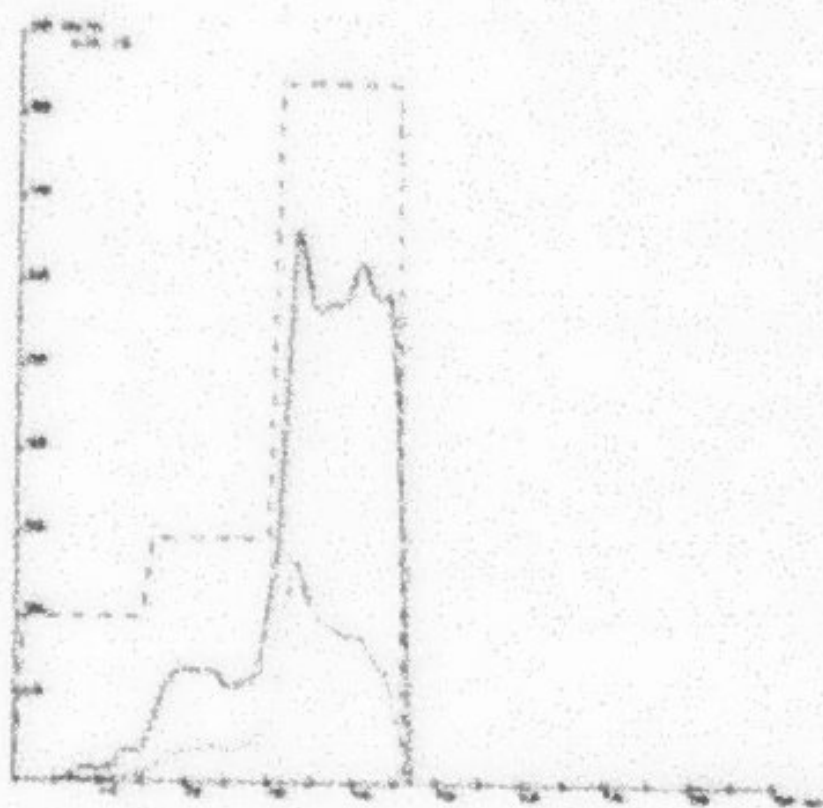
Date : 12/2/66
 Heure(h. mn) : 12.11
 t d. rllen. s) : 6
 ht d. r1 (mm) : 29.7
 Vol. ech (ml) : 268
 Nbre senso. : 3
 Nbre releve : 5
 t fin rllen) : 47

Arrondissement des Bata
CATRE

No SEQ	DUREE (mn)	INTENSITE (mm/h)	HAUTEUR (mm)
1	15.0	20.1	5.0
2	15.0	20.6	7.4
3	15.0	84.0	21.0

TEMPS (mn)	HAUTEUR (lue sur limieramme) (mm)	TEMPS (mn)	RUISSELT (mm/h)	DEBIT SOL. (g/h)
6	29.7	6	0.0	0.0
7	29.9	7	1.2	0.5
8	30.2	8	1.8	0.9
9	30.5	9	1.0	1.0
10	30.8	10	1.0	1.2
11	31.0	11	1.2	0.9
12	31.2	12	1.2	1.0
13	32.0	13	4.0	4.1
14	32.0	14	4.0	4.1
15	33.2	15	2.4	2.4
16	34.2	16	6.0	6.5
17	35.0	17	9.6	11.1
18	36.0	18	13.2	16.2
19	40.7	19	13.0	17.9
20	42.0	20	15.0	20.5
21	45.0	21	13.2	13.0
22	47.2	22	13.2	20.0
23	49.4	23	13.2	20.9
24	51.0	24	14.4	23.0
25	53.7	25	11.4	19.7
26	55.4	26	10.2	10.4
27	57.5	27	12.6	23.6
28	59.5	28	12.0	23.3
29	61.8	29	13.0	27.0
30	64.7	30	15.0	31.3
31	70.3	31	36.0	77.0
32	72.0	32	29.2	56.2
33	87.2	33	91.2	190.3
34	90.7	34	66.0	128.1
35	105.0	35	56.4	101.3
36	113.7	36	52.2	89.8
37	123.7	37	60.0	90.7
38	130.6	38	57.0	89.4
39	140.7	39	57.6	87.1
40	150.3	40	60.6	88.3
41	158.7	41	66.0	92.4
42	168.0	42	60.6	70.7
43	177.0	43	54.0	64.7
44	185.7	44	60.6	66.4
45	195.2	45	59.4	48.0
46	199.2	46	24.0	13.2
47	199.4	47	1.2	0.5
		48	0.0	0.0

No	ECH.	TEMPS (min)	DURÉE (s)	VOLUME (L)	STOCKAGE (L)	* 22 *
1		31	13	250	2250	
2		34	15	250	1700	
3		37	17	250	1700	
4		40	19	250	1400	
5		43	17	250	1000	



HAD P4-1

120280

No	SEC	DURÉE (min)	INTENS. (cm ² /s)	INJECTEUR (min)	EMISS. (min)	PI (min)	PE (min)	Kru (g/g)	W (min)	EPDS (g)
1		15.0	20.1	5.0	0.4	2.0	3.0	7.0	4.7	0.7
2		15.0	20.6	7.4	7.1	0.8	7.4	42.0	4.3	5.0
3		15.0	84.0	21.0	14.4	0.0	21.0	68.5	5.6	22.6
TOT.		45.0	40.6	33.4	17.9	2.8	31.4	57.4	15.6	27.9

Plan de Surenveillance sur Cannelle

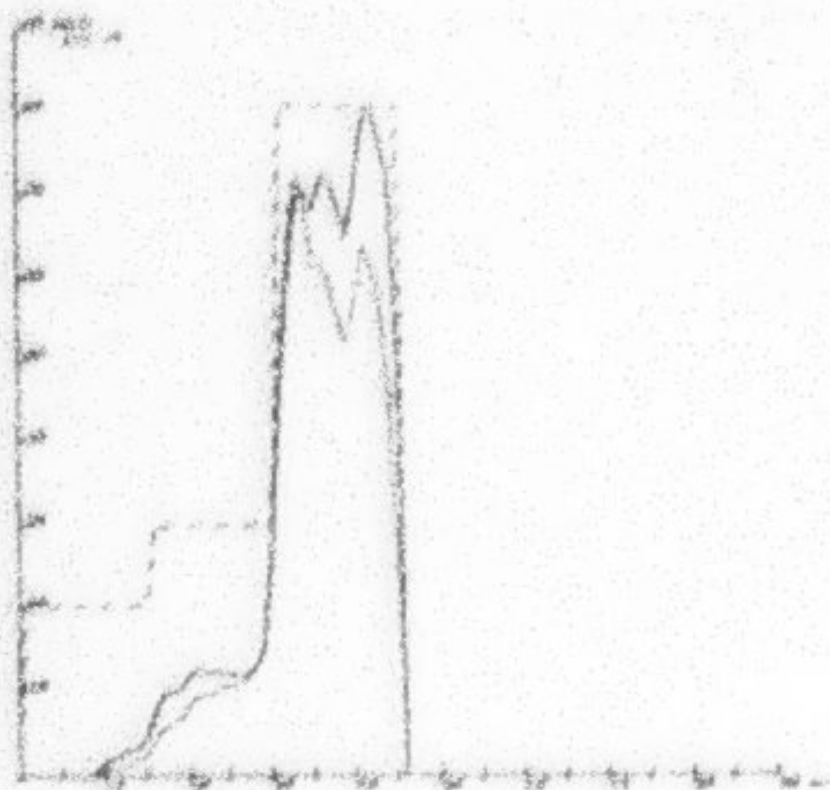
Expenses	1,250.00
Appropriation	25.00
...	...
...	...
...	...
...	...
...	...
...	...
...	...

Statement of the State
 1917

...
1	15.0	25.0	5.0
2	15.0	25.0	7.0
3	15.0	25.0	20.0

...
1	6.0		1	8.0	8.0	
2	6.7		2	1.0	1.7	
3	6.4		3	1.8	1.3	
4	7.0		4	2.4	1.9	
5	2.5		5	3.0	2.7	
6	8.0		6	3.0	2.9	
7	8.1		7	3.6	3.7	
8	5.1		8	4.0	4.6	
9	11.5		9	11.4	13.0	
10	13.2		10	12.7	17.0	
11	14.0		11	5.6	12.2	
12	14.6		12	18.0	15.1	
13	15.0		13	14.4	21.2	
14	21.0		14	17.0	18.6	
15	21.0		15	12.0	15.5	
16	25.1		16	12.5	21.4	
17	27.0		17	11.4	28.2	
18	23.1		18	12.6	23.2	
19	21.0		19	11.4	21.8	
20	21.0		20	22.0	22.9	
21	21.5		21	15.0	31.0	
22	21.0		22	15.0	30.1	
23	45.2		23	45.2	108.8	
24	44.5		24	45.4	109.4	
25	41.0		25	50.0	145.6	
26	42.0		26	70.0	154.5	
27	47.1		27	62.4	108.3	
28	55.0		28	71.4	121.1	
29	112.0		29	20.0	127.2	
30	110.0		30	43.6	99.5	
31	112.7		31	29.2	111.6	
32	141.1		32	56.4	91.8	
33	152.0		33	31.8	150.5	
34	141.0		34	75.6	116.9	
35	190.5		35	84.0	122.2	
36	185.5		36	63.6	86.6	
37	201.0		37	75.0	148.1	
38	205.0		38	48.0	21.0	
39			39	0.0	0.0	

Mr. Test	11.88% (400)	10000	100000	1000000	W 21
1	74	15	20.0	2750	
2	74	15	20.0	1202	
3	50	12	20.0	1045	
4	45	14	20.0	16.75	
5	41	14	20.0	1.802	



HAD PG-1

130206

NO. SIB	SWEEP (sec)	INTERP. (sec)	WAVEFORM (sec)	LENGTH (sec)	PI (sec)	PE (sec)	KFU (10/0)	W (sec)	ERDS (%)
1	15.8	28.2	5.1	8.3	3.8	2.8	5.1	4.8	8.2
2	15.8	28.1	2.5	2.9	8.8	2.5	39.1	4.6	6.8
3	15.0	28.4	28.1	12.5	8.0	28.1	87.5	2.5	29.4
TOT.	45.8	43.6	32.7	28.8	3.8	29.6	67.6	11.9	34.5

SALESDROP FOR CASSETTE No. 10100
 20 142 x 318

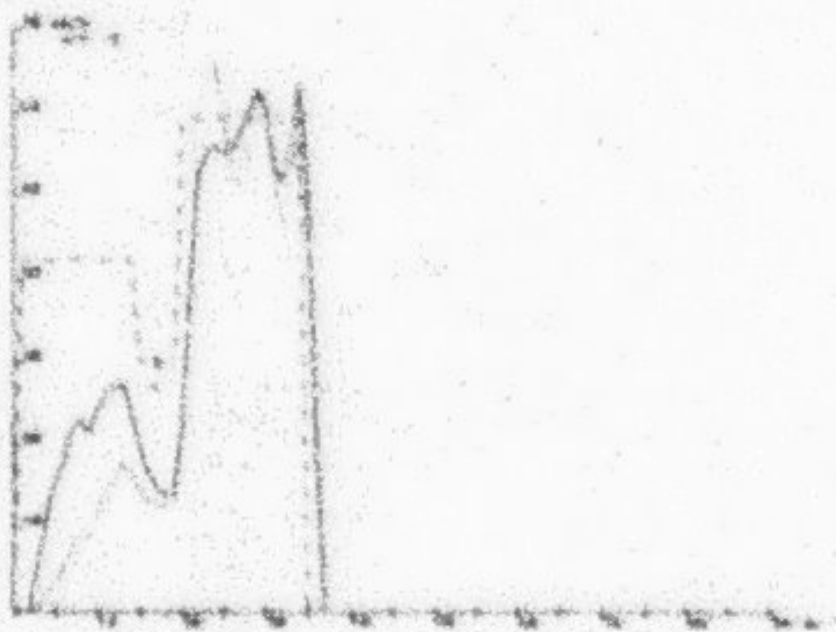
Date : 21/02/66
 Heure (h, mn) : 10.3
 L. d. r. (cm, s) : 2.4
 Ht d. r. (cm) : 113.5
 Vol. ech (ml) : 255
 Nbre semenc. : 3
 Nbre projet. : 6
 V. fin r. (mn) : 37

Arrosage des Sols
GAMS

No SEC	DUREE (mn)	INTENSITE (mm/h)	HAUTEUR (cm)
1	14.2	42.7	10.0
2	5.4	29.7	2.7
3	15.0	59.2	14.8

TEMPS (mn)	HAUTEUR (que sur l'arrosage) (cm)	TEMPS (mn)	HAUSSE (cm/h)	DEBIT (cm/h)
2	113.5	2	0.0	0.0
3	113.3	3	7.2	1.6
4	115.5	4	9.6	3.1
5	118.4	5	17.4	7.5
6	121.3	6	17.4	9.4
7	124.3	7	21.6	14.0
8	127.7	8	29.0	19.9
9	132.0	9	21.6	18.6
10	136.0	10	19.7	16.6
11	141.4	11	32.4	34.9
12	145.0	12	21.6	25.6
13	150.5	13	33.0	42.7
14	154.4	14	23.4	32.8
15	157.8	15	28.4	30.0
16	160.3	16	15.0	24.2
17	167.0	17	15.0	25.9
18	165.0	18	13.2	24.2
19	167.2	19	13.2	25.6
20	165.0	20	15.6	31.9
21	176.3	21	39.0	64.0
22	183.4	22	57.9	131.0
23	193.2	23	50.8	139.5
24	199.0	24	54.9	136.1
25	209.5	25	58.2	122.2
26	212.9	26	50.4	96.1
27	225.5	27	60.9	98.6
28	235.1	28	57.6	103.7
29	245.9	29	14.0	120.5
30	253.3	30	63.3	117.0
31	263.0	31	54.6	106.6
32	268.1	32	48.6	79.3
33	281.6	33	53.7	94.6
34	211.7	34	61.0	110.1
35	271.5	35	32.9	131.4
36	275.0	36	21.0	25.2
37	275.2	37	1.2	0.7
		38	0.0	0.0

No	CCP	TEMP	TEMP	TEMP	TEMP
		(°C)	(°C)	(°C)	(°C)
1	71	14	200	2782	
2	77	14	200	2782	
3	28	18	205	1819	
4	23	18	205	2114	
5	31	17	202	1744	
6	34	13	190	1821	



HAD PG-2

21/02/85

No	SEG	DUREE	INTENS.	POSITION	EXPOS.	PI	PE	KPO	W	EMPS
		(sec)	(dB)	(cm)	(cm)	(sec)	(sec)	(cm)	(sec)	(sec)
1		14.7	42.2	18.2	4.2	7.9	9.1	41.8	3.8	3.8
2		5.4	25.7	2.7	1.3	6.8	7.7	48.8	1.4	2.2
3		15.9	53.2	14.8	13.7	9.8	14.9	85.8	1.5	24.7
TOT.		36.0	43.7	33.8	19.2	7.9	25.8	68.2	8.7	32.7

SALVÉGARDE sur CASSETTE No 100 124
de 8 à 215

Intensité de 42,2 estimée.

THE UNIVERSITY OF CHICAGO
LIBRARY

Account Statement with Date

1955

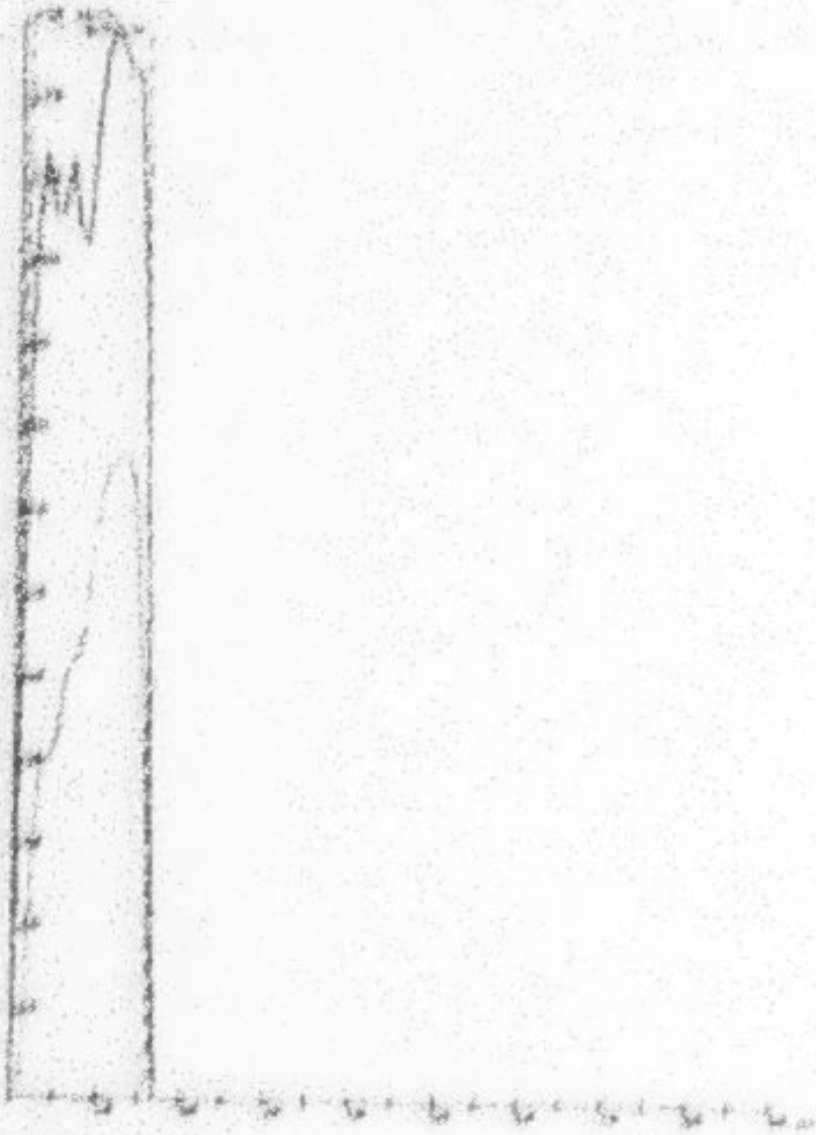
Page	11
10/1/55	11
10/2/55	11
10/3/55	11
10/4/55	11
10/5/55	11
10/6/55	11
10/7/55	11

No. 1000	1000	1000	1000
(1000)	(1000)	(1000)	(1000)
1	1000	1000	1000

DATE	AMOUNT	DATE	AMOUNT	DATE	AMOUNT	DATE	AMOUNT
(Date)	(Amt)	(Date)	(Amt)	(Date)	(Amt)	(Date)	(Amt)
0	0.0	0	0.0	0	0.0	0	0.0
1	8.4	1	100.0	1	0.0	1	0.0
2	28.3	2	115.4	2	119.3	2	119.3
3	44.4	3	130.3	3	256.3	3	256.3
4	60.3	4	147.7	4	375.0	4	375.0
5	78.2	5	165.0	5	492.3	5	492.3
6	98.2	6	183.0	6	618.3	6	618.3
7	117.0	7	192.0	7	744.2	7	744.2
8	138.2	8	205.0	8	868.2	8	868.2
9	160.4	9	217.0	9	989.5	9	989.5
10	179.5	10	227.0	10	1107.0	10	1107.0
11	198.5	11	239.0	11	1211.3	11	1211.3
12	271.5	12	252.2	12	1312.1	12	1312.1
13	331.7	13	260.2	13	1378.0	13	1378.0
14	389.5	14	270.1	14	1487.7	14	1487.7
15	448.1	15	272.6	15	1571.1	15	1571.1
16	476.7	16	29.5	16	61.9	16	61.9
17	477.0	17	1.5	17	1.5	17	1.5
18		18	0.0	18	0.0	18	0.0

No. 1000	DATE	DATE	DATE	CHARGE
(No.)	(Date)	(Date)	(Date)	(Amount)
1	7	7	255	2000
2	6	12	250	1950
3	7	11	250	2052
4	10	8	250	2050
5	13	7	250	2070

Q	Q/100	Initial Moisture (%)	Final Moisture (%)	PI (%)	PE (%)	W ₂₀ (%)	H (%)	EMIS (%)
1	15.0	125.0	22.3	23.0	1.0	11.2	90.1	3.2



100 PE-3

210201

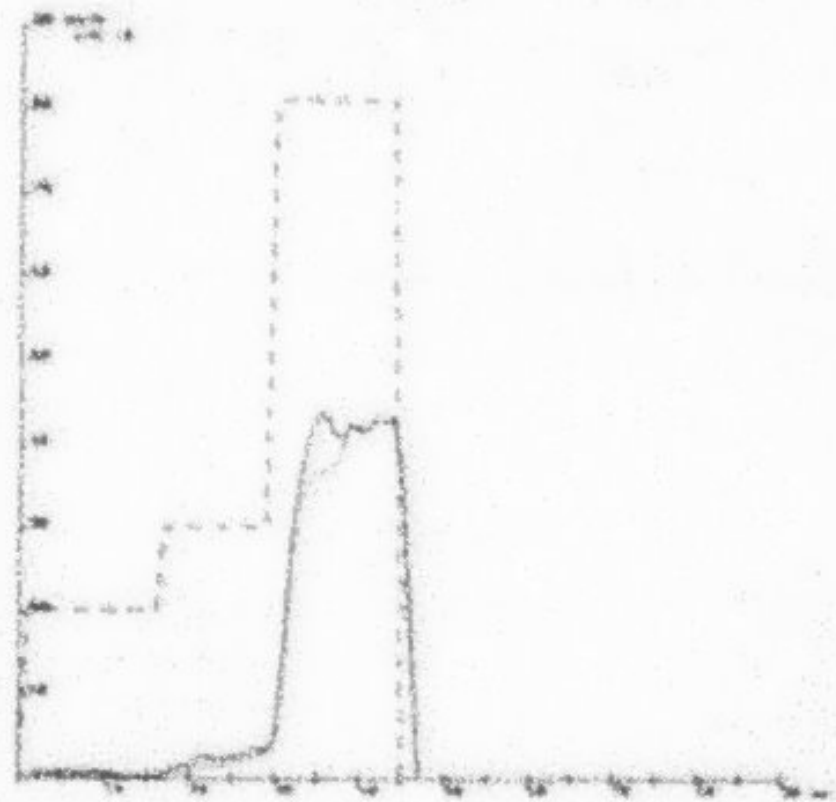
Severidade por effluvia

Date : 180206
 Heure(h, mn) : 12.3
 t d. rt (mn, s) : 1.3
 ht d. rt (mm) : 0.7
 Vol. ech (ml) : 260
 Nbre seuven. : 3
 Nbre prelev. : 5
 t fin rt (mn) : 47

No SEQ	DUREE (mn)	INTENSITE (mm/h)	HAUTEUR (mm)
1	16.3	20.4	5.5
2	13.3	30.5	6.8
3	15.0	01.2	20.3

TEMPS (mn)	HAUTEUR (lue sur limnigrasse) (mm)	TEMPS (mn)	RUISSELT (mm/h)	DEBIT SOL. (mm/h)
1	0.7	1	0.0	0.0
2	0.8	2	1.2	0.1
3	0.9	3	0.6	0.1
4	1.0	4	0.6	0.1
5	1.1	5	0.6	0.1
6	1.3	6	1.2	0.3
7	1.4	7	0.6	0.2
8	1.5	8	0.6	0.2
9	1.7	9	1.2	0.6
10	1.8	10	0.6	0.3
11	1.9	11	0.6	0.3
12	1.9	12	0.0	0.0
13	2.0	13	0.6	0.4
14	2.1	14	0.6	0.5
15	2.1	15	0.0	0.0
16	2.2	16	0.6	0.5
17	2.3	17	0.6	0.6
18	2.5	18	1.2	1.2
19	2.8	19	1.0	1.0
20	3.0	20	1.2	1.3
21	3.5	21	3.0	3.5
22	4.0	22	3.0	3.7
23	4.4	23	2.4	3.1
24	4.7	24	1.0	2.4
25	5.2	25	3.0	4.2
26	5.8	26	3.6	5.2
27	6.1	27	1.0	2.7
28	7.0	28	5.4	8.5
29	7.4	29	2.4	3.9
30	8.0	30	3.6	6.1
31	9.5	31	9.0	15.7
32	15.1	32	33.6	60.5
33	-19.1	33	39.0	72.5
34	26.0	34	41.4	73.4
35	33.5	35	45.0	75.9
36	-38.4	36	45.0	72.0
37	45.8	37	44.4	70.1
38	52.0	38	37.2	71.4
39	-56.7	39	43.0	81.1
40	63.3	40	43.2	88.5
41	70.5	41	39.6	79.8
42	-75.5	42	45.3	89.9
43	82.0	43	43.0	87.4
44	89.8	44	42.0	84.3
45	-94.8	45	45.6	92.1
46	98.7	46	23.4	31.5
47	98.9	47	1.2	0.8
		48	0.0	0.0

NO SEQ.	TEMPS (min)	DUREE (s)	HAUTEUR (cm)	ERREUR (cm)
1	12	22	200	1850
2	15	22	260	2000
3	18	22	260	2000
4	41	22	250	1800
5	44	20	260	2010



HAD P2-1 100286

NO SEQ	DUREE (min)	INTENS. (cm ²)	HAUTEUR (cm)	LAGRES. (cm)	P1 (cm)	PE (cm)	K ₁₀ (cm ²)	W (cm)	ERREUR (%)
1	16.3	20.4	5.5	0.2	0.5	5.8	2.9	5.4	0.1
2	13.3	32.5	6.0	0.5	0.0	6.0	7.0	6.2	0.7
3	15.0	41.2	28.3	3.3	0.0	20.3	45.6	11.0	17.4
TOT.	44.6	44.0	32.6	9.9	0.5	32.1	20.5	22.7	18.2

SAUVEGARDE SUR CASSETTE NO INF 120
de 0 à 244

1914
 1915
 1916
 1917
 1918
 1919
 1920
 1921
 1922

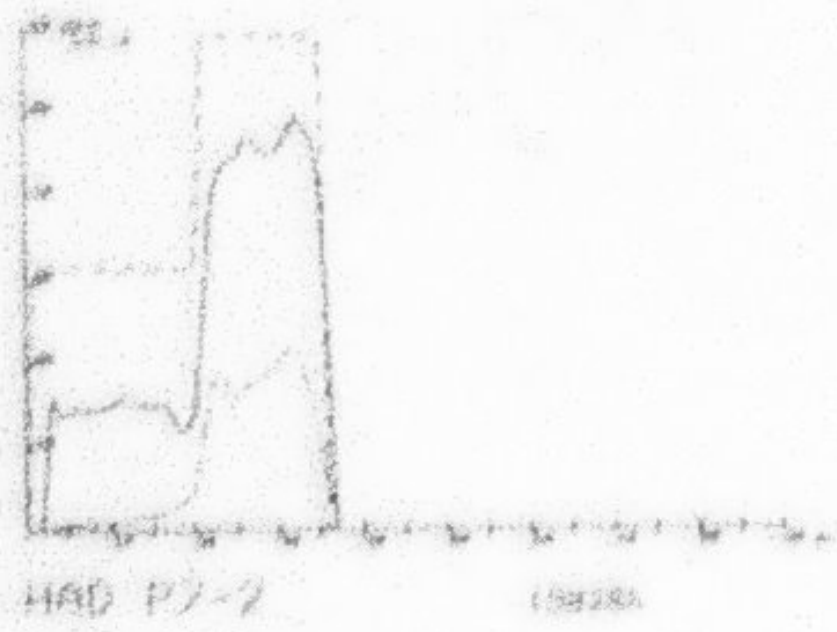
Annual Report of the Board of Trustees
 1922

Year	Income	Expenses	Balance
1921	28.8	21.8	7.0
1922	28.8	28.2	0.6

Year	Income	Expenses	Balance
1	28.8	21.8	7.0
2	28.8	21.8	7.0
3	28.8	21.8	7.0
4	28.8	21.8	7.0
5	28.8	21.8	7.0
6	28.8	21.8	7.0
7	28.8	21.8	7.0
8	28.8	21.8	7.0
9	28.8	21.8	7.0
10	28.8	21.8	7.0
11	28.8	21.8	7.0
12	28.8	21.8	7.0
13	28.8	21.8	7.0
14	28.8	21.8	7.0
15	28.8	21.8	7.0
16	28.8	21.8	7.0
17	28.8	21.8	7.0
18	28.8	21.8	7.0
19	28.8	21.8	7.0
20	28.8	21.8	7.0
21	28.8	21.8	7.0
22	28.8	21.8	7.0
23	28.8	21.8	7.0
24	28.8	21.8	7.0
25	28.8	21.8	7.0
26	28.8	21.8	7.0
27	28.8	21.8	7.0
28	28.8	21.8	7.0
29	28.8	21.8	7.0
30	28.8	21.8	7.0
31	28.8	21.8	7.0
32	28.8	21.8	7.0
33	28.8	21.8	7.0
34	28.8	21.8	7.0
35	28.8	21.8	7.0
36	28.8	21.8	7.0
37	28.8	21.8	7.0
38	28.8	21.8	7.0
39	28.8	21.8	7.0
40	28.8	21.8	7.0
41	28.8	21.8	7.0
42	28.8	21.8	7.0
43	28.8	21.8	7.0
44	28.8	21.8	7.0
45	28.8	21.8	7.0
46	28.8	21.8	7.0
47	28.8	21.8	7.0
48	28.8	21.8	7.0
49	28.8	21.8	7.0
50	28.8	21.8	7.0
51	28.8	21.8	7.0
52	28.8	21.8	7.0
53	28.8	21.8	7.0
54	28.8	21.8	7.0
55	28.8	21.8	7.0
56	28.8	21.8	7.0
57	28.8	21.8	7.0
58	28.8	21.8	7.0
59	28.8	21.8	7.0
60	28.8	21.8	7.0
61	28.8	21.8	7.0
62	28.8	21.8	7.0
63	28.8	21.8	7.0
64	28.8	21.8	7.0
65	28.8	21.8	7.0
66	28.8	21.8	7.0
67	28.8	21.8	7.0
68	28.8	21.8	7.0
69	28.8	21.8	7.0
70	28.8	21.8	7.0
71	28.8	21.8	7.0
72	28.8	21.8	7.0
73	28.8	21.8	7.0
74	28.8	21.8	7.0
75	28.8	21.8	7.0
76	28.8	21.8	7.0
77	28.8	21.8	7.0
78	28.8	21.8	7.0
79	28.8	21.8	7.0
80	28.8	21.8	7.0
81	28.8	21.8	7.0
82	28.8	21.8	7.0
83	28.8	21.8	7.0
84	28.8	21.8	7.0
85	28.8	21.8	7.0
86	28.8	21.8	7.0
87	28.8	21.8	7.0
88	28.8	21.8	7.0
89	28.8	21.8	7.0
90	28.8	21.8	7.0
91	28.8	21.8	7.0
92	28.8	21.8	7.0
93	28.8	21.8	7.0
94	28.8	21.8	7.0
95	28.8	21.8	7.0
96	28.8	21.8	7.0
97	28.8	21.8	7.0
98	28.8	21.8	7.0
99	28.8	21.8	7.0
100	28.8	21.8	7.0

No. KCl (g) STRENGTH (g/l) SAMPLE (g) VOLUME (ml) CHANGE (mg/l) = 50 =

1	15	50	245	715
2	21	22	250	824
3	24	21	250	660
4	27	19	260	706
5	30	18	265	349
6	33	20	270	608



No	SED	SAMPLE (g)	STRENGTH (g/l)	WGT/100W (g)	LIMITS (g)	P1 (g)	P2 (g)	K ₁₀ (g/l)	Q (g)	FWGS (g)
1		24.8	31.6	14.5	5.6	1.5	0.9	44.2	5.0	0.9
2		15.8	59.2	14.9	11.1	0.9	14.0	25.7	3.7	0.0
TOT.		35.8	45.3	25.2	15.0	1.5	22.9	62.5	8.5	0.7

SAUCER/GROSS SUR CRUSSETTE No 126 118
du 8 à 287

ARR. INFILTROMETRE 111
 ESSAI No HAD P7-3

Arrondissement des Sols
GAMBES

Date : 190786
 heure(h.en) : 12.4
 l d. r1(mm.s) : 1.06
 ht d. r1 (mm) : 5
 Vol. ech (ml) : 260
 Nbre souches : 1
 Nbre releut : 5
 t fin r1(en) : 17

No. SEU	DRYEE (mm)	INTERGITE (mm)	MOULTE (mm)
1	15.0	122.5	31.6

TEMPS (en)	DRYEE (mm)	DRYEE (mm)	DRYEE (mm)	DRYEE (mm)	DRYEE (mm)	DRYEE (mm)
1	5.0			1	0.0	0.0
2	16.0			2	32.3	94.2
3	32.1			3	100.6	266.1
4	43.8			4	106.2	213.2
5	61.2			5	103.0	125.2
6	87.2			6	112.2	216.2
7	101.5			7	109.0	230.9
8	118.4			8	114.6	212.2
9	142.0			9	114.0	226.4
10	154.2			10	115.2	229.9
11	172.5			11	114.0	222.6
12	180.2			12	112.6	220.6
13	211.0			13	112.0	259.2
14	226.4			14	102.4	240.1
15	245.4			15	114.0	191.2
16	233.0			16	93.2	58.0
17	254.0			17	2.4	1.2
				18	0.0	0.0

No. FDN.	TEMPS (en)	DRYEE (s)	DRYEE (mm)	DRYEE (mm)
1	2	9	26.0	2950
2	4	9	26.0	1600
3	2	0	26.0	2419
4	10	0	26.0	2435
5	13	0	25.0	2136

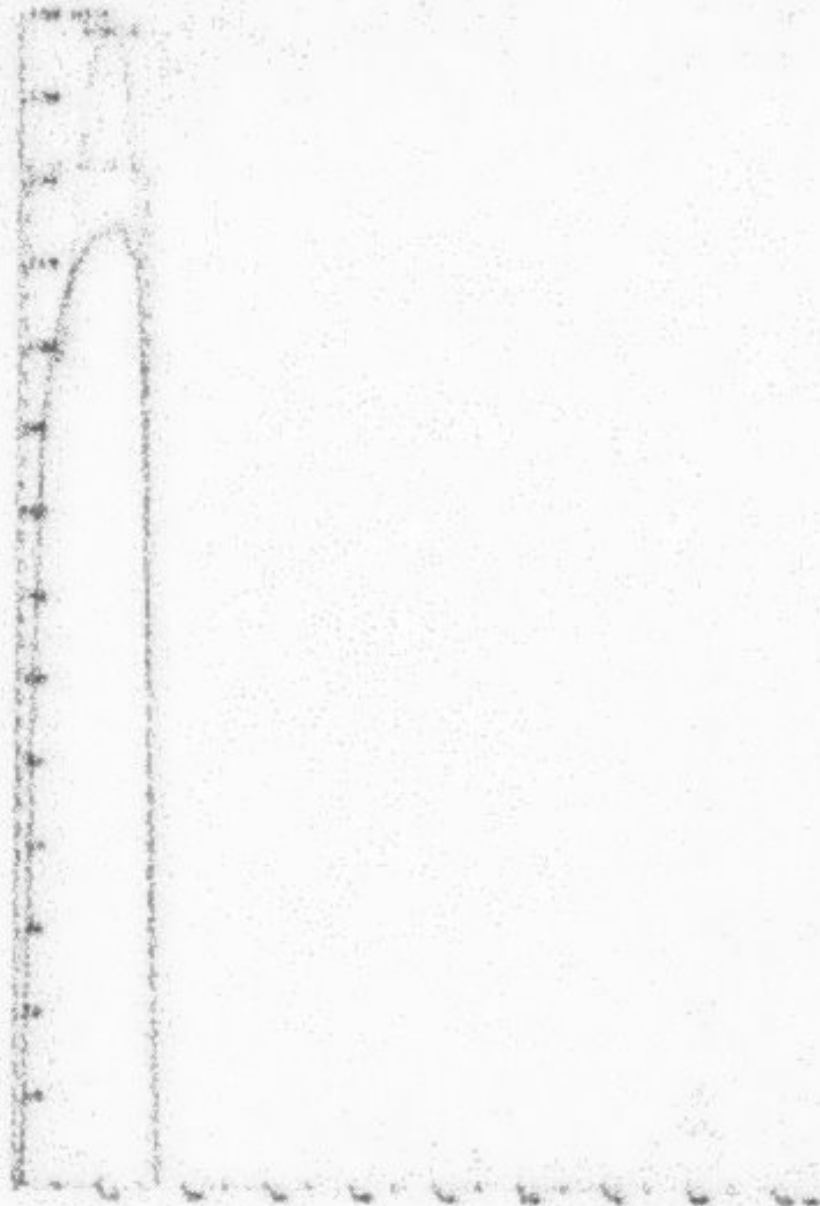


FIGURE 1

TABLE I

No.	Time	Temp.	Pressure	Flow
-----	------	-------	----------	------

TABLE II

No.	Time	Temp.	Pressure	Flow
-----	------	-------	----------	------

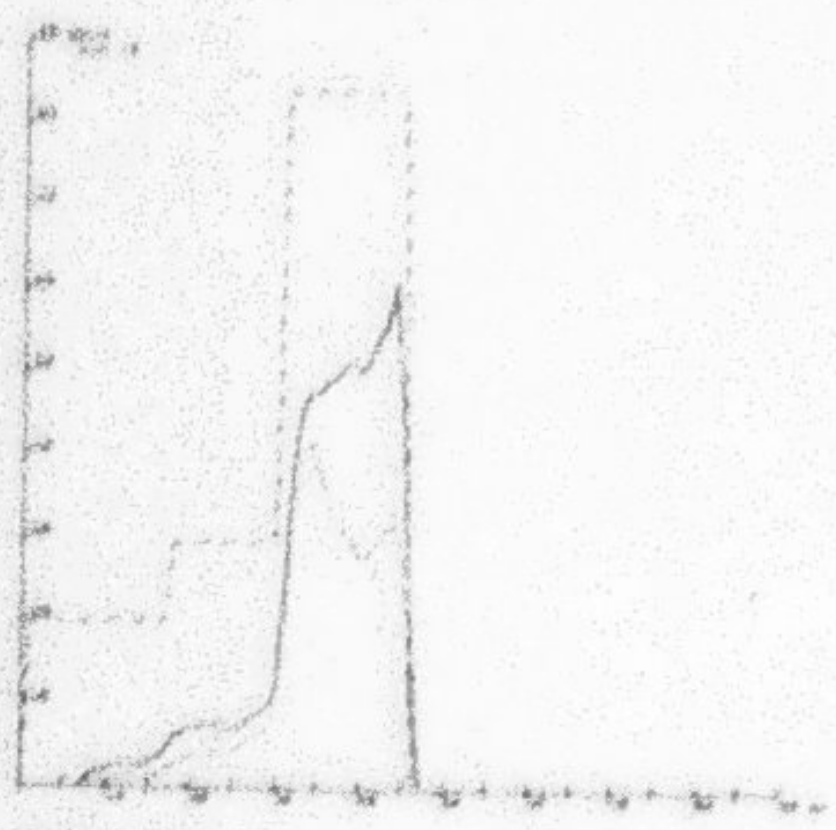
TABLE III

No.	Time	Temp.	Pressure	Flow
-----	------	-------	----------	------

GENERAL INFORMATION		ANNUAL REPORT FOR YEAR		
NAME	ADDRESS	NO. OF	(COUNT)	PERCENTAGE
			(PER)	(PER)
1		1	17.0	20.1
2		2	34.0	25.2
3		3	51.0	54.7

GENERAL INFORMATION		ANNUAL REPORT FOR YEAR		
NAME	ADDRESS	NO. OF	(COUNT)	PERCENTAGE
			(PER)	(PER)
1	100.0	1	5.0	5.0
2	100.0	2	10.0	10.0
3	100.0	3	15.0	15.0
4	100.0	4	20.0	20.0
5	100.0	5	25.0	25.0
6	100.0	6	30.0	30.0
7	100.0	7	35.0	35.0
8	100.0	8	40.0	40.0
9	100.0	9	45.0	45.0
10	100.0	10	50.0	50.0
11	100.0	11	55.0	55.0
12	100.0	12	60.0	60.0
13	100.0	13	65.0	65.0
14	100.0	14	70.0	70.0
15	100.0	15	75.0	75.0
16	100.0	16	80.0	80.0
17	100.0	17	85.0	85.0
18	100.0	18	90.0	90.0
19	100.0	19	95.0	95.0
20	100.0	20	100.0	100.0
21	100.0	21	100.0	100.0
22	100.0	22	100.0	100.0
23	100.0	23	100.0	100.0
24	100.0	24	100.0	100.0
25	100.0	25	100.0	100.0
26	100.0	26	100.0	100.0
27	100.0	27	100.0	100.0
28	100.0	28	100.0	100.0
29	100.0	29	100.0	100.0
30	100.0	30	100.0	100.0
31	100.0	31	100.0	100.0
32	100.0	32	100.0	100.0
33	100.0	33	100.0	100.0
34	100.0	34	100.0	100.0
35	100.0	35	100.0	100.0
36	100.0	36	100.0	100.0
37	100.0	37	100.0	100.0
38	100.0	38	100.0	100.0
39	100.0	39	100.0	100.0
40	100.0	40	100.0	100.0
41	100.0	41	100.0	100.0
42	100.0	42	100.0	100.0
43	100.0	43	100.0	100.0
44	100.0	44	100.0	100.0
45	100.0	45	100.0	100.0
46	100.0	46	100.0	100.0
47	100.0	47	100.0	100.0
48	100.0	48	100.0	100.0

NO. SEQ.	THICKNESS (mm)	NUMBER	WATER LOSS (%)	CRACKS (mm)
1	13	10	26.0	10.31
2	26	10	25.5	12.47
3	39	20	26.0	12.73
4	52	10	25.0	11.12
5	65	10	25.8	10.96



HRD P5-1 132286

NO. SEQ.	THICKNESS (mm)	INTENS. (counts)	HORIZONTAL (mm)	CRACKS (mm)	PI (mm)	PT (mm)	WATER LOSS (%)	W (mm)	EROS (mm)
1	17.8	28.1	5.7	8.5	2.7	7.8	8.4	5.7	8.3
2	13.8	29.5	6.3	1.7	8.8	6.4	25.5	4.7	2.7
3	15.2	84.2	21.8	12.4	8.8	21.8	58.1	8.5	16.7
TOT.	45.8	46.6	33.7	14.6	2.7	32.8	44.1	16.5	18.6

RES DE SANJUANITA SUR ENCAJITE

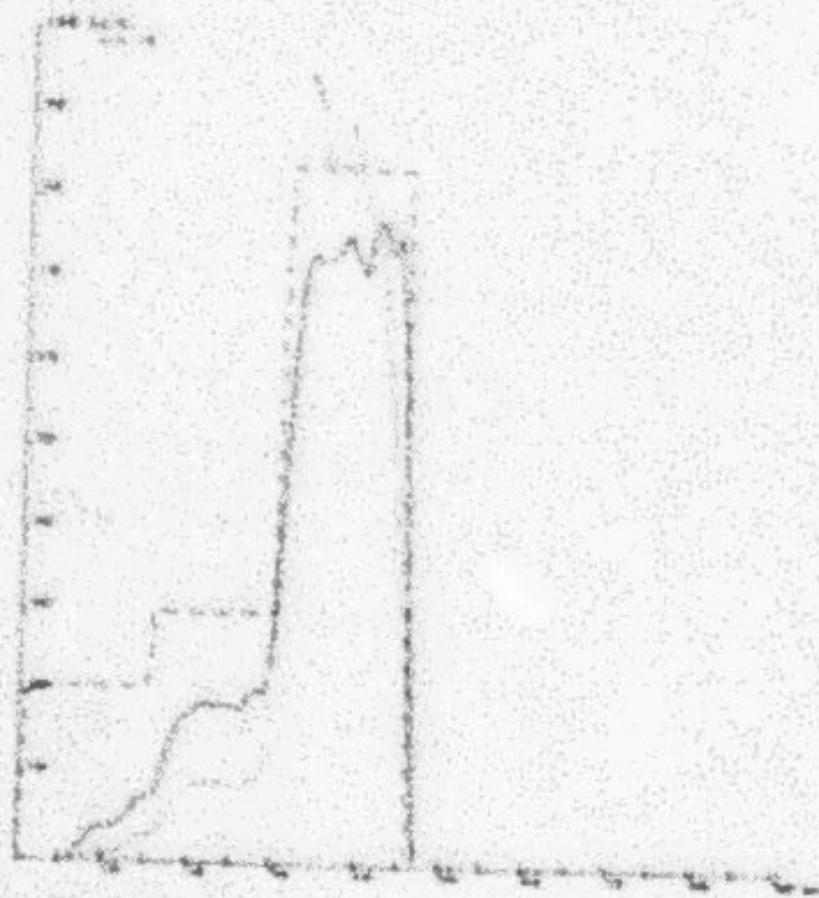
Date : 110206
 Heure (h. mn) : 13
 t d. r (mm. s) : 6.3
 ht d. r t (mm) : 3.4
 Vol. ech (ml) : 250
 Héro sensés. : 3
 Héro prélevé : 2
 t fin r (mm) : 40.6

Arrosiement des sols
EAU

Hauteur	PARCOURU (cm)	INTENSITE (cm/h)	PROFondeUR (cm)
1	15.0	21.0	5.3
2	15.0	39.2	7.6
3	15.0	84.1	21.0

TEMPS (mn)	HABITEUR (mm)	TEMPS (mn)	ABISSE (cm/h)	DEBIT SOL (cm/h)
6	3.4	6	0.0	0.0
7	3.6	7	2.4	2.0
8	3.7	8	1.0	1.7
9	4.7	9	4.0	5.3
10	5.5	10	4.0	5.0
11	6.0	11	3.0	4.1
12	6.9	12	5.4	6.2
13	7.8	13	5.4	6.0
14	9.0	14	7.2	12.0
15	10.5	15	9.0	17.3
16	11.7	16	7.2	14.0
17	13.2	17	9.0	19.0
18	16.0	18	16.0	39.3
19	16.5	19	18.3	45.3
20	19.5	20	18.0	44.7
21	22.6	21	19.6	46.3
22	26.0	22	20.4	50.0
23	29.0	23	18.0	45.0
24	32.2	24	19.7	48.1
25	32.0	25	19.0	47.5
26	35.0	26	19.0	44.6
27	38.0	27	18.0	43.0
28	42.0	28	24.0	57.7
29	43.3	29	18.6	44.0
30	47.0	30	22.2	60.5
31	54.0	31	42.0	235.6
32	63.0	32	69.6	503.3
33	75.0	33	72.0	407.1
34	88.7	34	82.2	517.0
35	99.0	35	67.2	332.1
36	110.0	36	70.2	409.1
37	121.0	37	71.4	399.7
38	134.0	38	78.0	453.4
39	145.0	39	76.2	459.0
40	156.3	40	67.8	379.0
41	168.2	41	71.4	367.4
42	182.0	42	88.2	414.2
43	191.7	43	68.4	291.7
44	204.1	44	74.4	293.0
45	217.0	45	68.4	265.4
46	221.0	46	20.0	43.0
47	225.0	47	4.7	3.6
		48	0.0	0.0

	NO	DATE	HEURE	TEMPERATURE
1	18	44	110	24.25
2	21	58	210	20.04
3	28	45	240	17.05
4	31	14	300	12.31
5	35	15	280	11.28
6	38	33	250	8.38
7	40	12	260	4.58



HMD P1-1

110286

NO	SEQ	ORIGEE (min)	INTERV. (min)	HAUTEUR (mm)	LAISSE (mm)	PI (mm)	PE (mm)	Area (10 ³)	Q (mm)	COEFF (%)
1		15.8	21.8	5.3	8.7	2.3	3.8	13.3	4.5	1.1
2		15.8	30.2	2.6	4.4	8.8	7.6	58.5	3.1	11.3
3		15.8	44.1	21.8	18.1	8.8	21.8	65.8	2.9	86.1
TOT.		15.8	45.1	37.8	23.2	2.3	31.6	68.7	10.6	100.5

PROJ. DE CALIBRAGE SUR CASSETTE

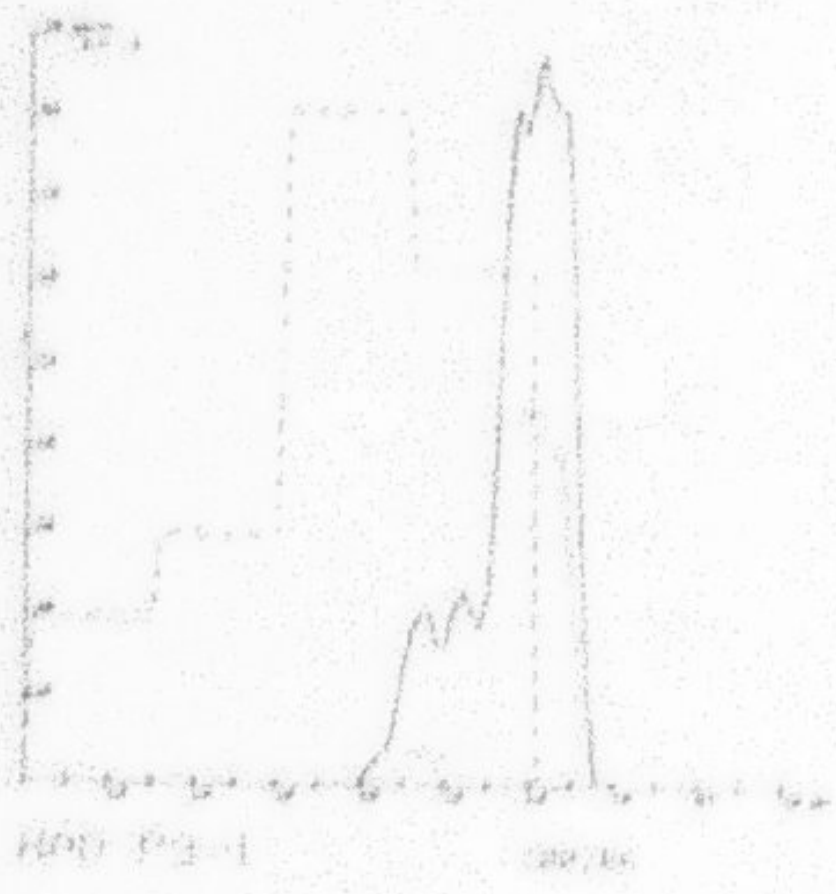
1942-1943
 1943-1944

1942-1943
 1943-1944
 1944-1945
 1945-1946
 1946-1947
 1947-1948

Year	1942-1943	1943-1944	1944-1945
1	10.5	10.8	11.2
2	11.0	11.5	12.0
3	11.5	12.0	12.5
4	12.0	12.5	13.0

Year	1942-1943	1943-1944	1944-1945	1945-1946	1946-1947	1947-1948
49	33.4					33.4
51	35.8					35.8
52	38.1					38.1
53	40.5					40.5
54	42.9					42.9
55	45.3					45.3
56	47.7					47.7
57	50.1					50.1
58	52.5					52.5
59	54.9					54.9
60	57.3					57.3
61	59.7					59.7
62	62.1					62.1
63	64.5					64.5
64	66.9					66.9
65	69.3					69.3
66	71.7					71.7
67	74.1					74.1
68	76.5					76.5
69	78.9					78.9
70	81.3					81.3
71	83.7					83.7
72	86.1					86.1
73	88.5					88.5
74	90.9					90.9
75	93.3					93.3
76	95.7					95.7
77	98.1					98.1
78	100.5					100.5
79	102.9					102.9
80	105.3					105.3
81	107.7					107.7
82	110.1					110.1
83	112.5					112.5
84	114.9					114.9
85	117.3					117.3
86	119.7					119.7
87	122.1					122.1
88	124.5					124.5
89	126.9					126.9
90	129.3					129.3
91	131.7					131.7
92	134.1					134.1
93	136.5					136.5
94	138.9					138.9
95	141.3					141.3
96	143.7					143.7
97	146.1					146.1
98	148.5					148.5
99	150.9					150.9
100	153.3					153.3

1	10	60	200	1000
2	20	10	200	1000
3	30	10	200	1000
4	40	10	200	1000
5	50	10	200	1000



NO. 1101	11-20-57	11-20-57	11-20-57	11-20-57	11-20-57	11-20-57	11-20-57	11-20-57	11-20-57
1	15.3	19.4	5.8	0.8	5.0	0.8	0.8	0.8	0.8
2	15.8	20.0	7.5	0.8	7.5	0.8	0.8	7.5	0.8
3	15.0	21.7	20.3	0.5	11.1	7.7	7.7	19.8	0.4
4	15.0	61.6	15.4	9.1	0.8	15.4	60.0	6.1	19.6
TOT.	60.3	89.1	48.7	0.8	25.4	22.0	20.7	40.4	20.1

FIG. 10. SIGNAL WAVEFORMS FOR TEST CASE 11

Appendix - not sea level

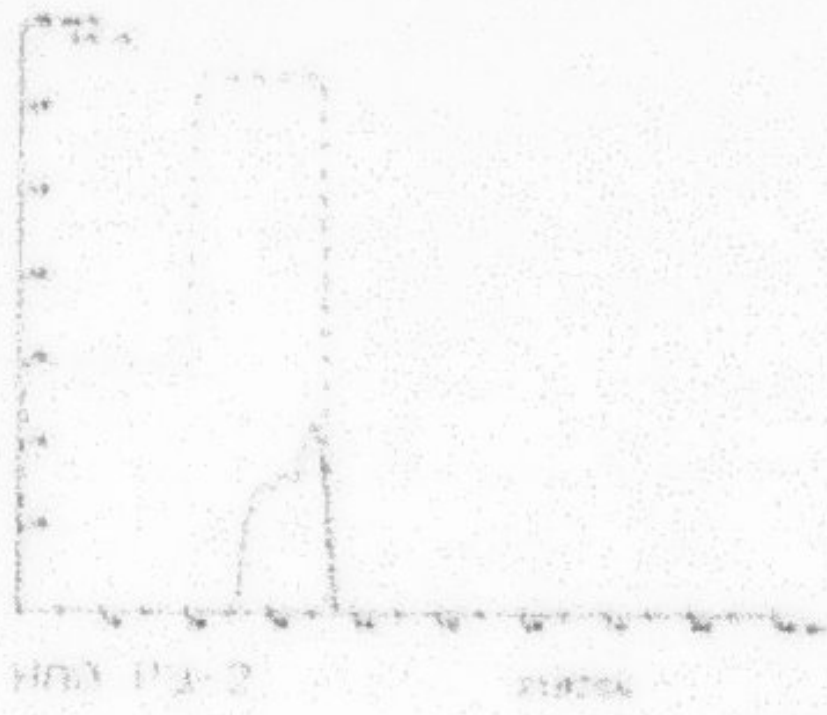
*** INFILTROMETRE ***
ESSAI No HAO P3-2

DATE

Date : 210286
Hour (h, mn) : 13.08
i d. r (mm, s) : 26.14
ht d. r (mm) : 2.7
Vol. ech (ml) : 0
Nbre pompes : 2
Nbre releve : 0
i fin (mm) : 32.55

No. SEQ	DATE (mm)	INDEP. III (mm/s)	INDEP. IV (mm)
1	20.0	21.8	9.9
2	16.0	64.2	17.1

TEMPS (mn)	INDEP. III (mm)	INDEP. IV (mm)	INDEP. V (mm/s)	INDEP. VI (mm/h)	INDEP. VII (mm)
26	2.7		26	4.0	0.0
27	5.0		27	10.0	0.0
28	7.4		28	14.4	0.0
29	10.3		29	17.4	0.0
30	12.8		30	19.0	0.0
31	15.4		31	19.6	0.0
32	18.0		32	19.7	0.0
33	20.8		33	19.2	0.0
34	23.5		34	18.6	0.0
35	26.0		35	14.6	0.0
36	32.3		36	25.8	0.0
37	34.4		37	12.6	0.0
38	34.6		38	1.2	0.0
			39	0.0	0.0



NO	SR	DATE	INITIAL	ANALYST	LABOR	HT	WT	AREA	W	CPD
		(MM)	(MM)	(MM)	(MM)	(MM)	(MM)	(MM)	(MM)	(MM)
1	20.0	25.0	15.0	0.0	3.1	0.0	0.0	15.0	0.0	0.0
2	10.0	14.2	11.1	1.0	10.7	10.0	12.7	04.1	0.0	0.0
TOT	30.0	39.2	26.1	1.0	13.8	10.0	11.2	19.1	0.0	0.0

EMISION NON RECORDEE
 PAR LE SARBEGARDE SUR CASSETTE

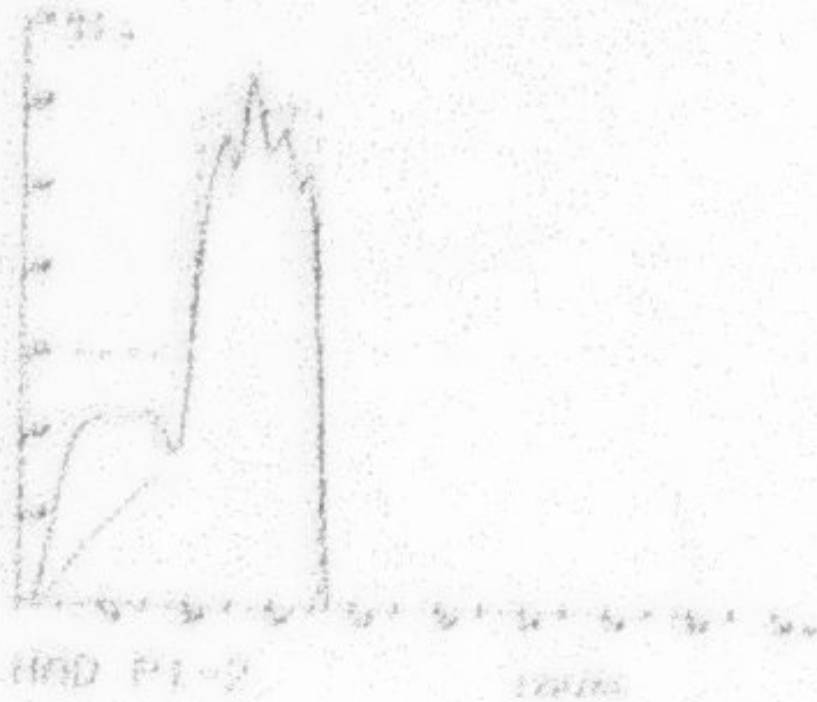
REGISTRATION AND LICENSES
 1918

1918
 1918
 1918
 1918
 1918
 1918
 1918
 1918

NO. OF	CLASS	EXPIRES	ISSUED
1	1918	1918	1918
2	1918	1918	1918

NO.	CLASS	EXPIRES	ISSUED	NO.	CLASS	EXPIRES	ISSUED
1	1918	1918	1918	1	1918	1918	1918
2	1918	1918	1918	2	1918	1918	1918
3	1918	1918	1918	3	1918	1918	1918
4	1918	1918	1918	4	1918	1918	1918
5	1918	1918	1918	5	1918	1918	1918
6	1918	1918	1918	6	1918	1918	1918
7	1918	1918	1918	7	1918	1918	1918
8	1918	1918	1918	8	1918	1918	1918
9	1918	1918	1918	9	1918	1918	1918
10	1918	1918	1918	10	1918	1918	1918
11	1918	1918	1918	11	1918	1918	1918
12	1918	1918	1918	12	1918	1918	1918
13	1918	1918	1918	13	1918	1918	1918
14	1918	1918	1918	14	1918	1918	1918
15	1918	1918	1918	15	1918	1918	1918
16	1918	1918	1918	16	1918	1918	1918
17	1918	1918	1918	17	1918	1918	1918
18	1918	1918	1918	18	1918	1918	1918
19	1918	1918	1918	19	1918	1918	1918
20	1918	1918	1918	20	1918	1918	1918
21	1918	1918	1918	21	1918	1918	1918
22	1918	1918	1918	22	1918	1918	1918
23	1918	1918	1918	23	1918	1918	1918
24	1918	1918	1918	24	1918	1918	1918
25	1918	1918	1918	25	1918	1918	1918
26	1918	1918	1918	26	1918	1918	1918
27	1918	1918	1918	27	1918	1918	1918
28	1918	1918	1918	28	1918	1918	1918
29	1918	1918	1918	29	1918	1918	1918
30	1918	1918	1918	30	1918	1918	1918
31	1918	1918	1918	31	1918	1918	1918
32	1918	1918	1918	32	1918	1918	1918
33	1918	1918	1918	33	1918	1918	1918
34	1918	1918	1918	34	1918	1918	1918
35	1918	1918	1918	35	1918	1918	1918
36	1918	1918	1918	36	1918	1918	1918
37	1918	1918	1918	37	1918	1918	1918
38	1918	1918	1918	38	1918	1918	1918

NO	DEPTH (m)	DURÉE (s)	DISTANCE (m)	TEMPERATURE (°C)
1	21	18	200	17.00
2	24	17	275	16.75
3	27	17	350	16.50
4	30	18	425	16.25
5	33	18	500	16.00



NO	DEPTH (m)	TEMPERATURE (°C)	WIND SPEED (km/h)	WIND DIRECTION (°)	WAVE HEIGHT (m)	WAVE PERIOD (s)	WAVE DIRECTION (°)	SEA STATE	REMARKS
1	20.0	17.0	18.1	5.0	1.1	3.1	38.0	4.2	6.0
2	25.0	16.5	19.0	13.0	2.0	15.0	32.2	1.2	27.0
03	30.0	16.2	20.1	15.2	1.1	18.1	28.5	2.4	33.0

COPIES OF THIS REPORT TO THE DIRECTOR
 AT 204 & 331

*** INFILTROMETRE ***
 ESSAI No HADU-2

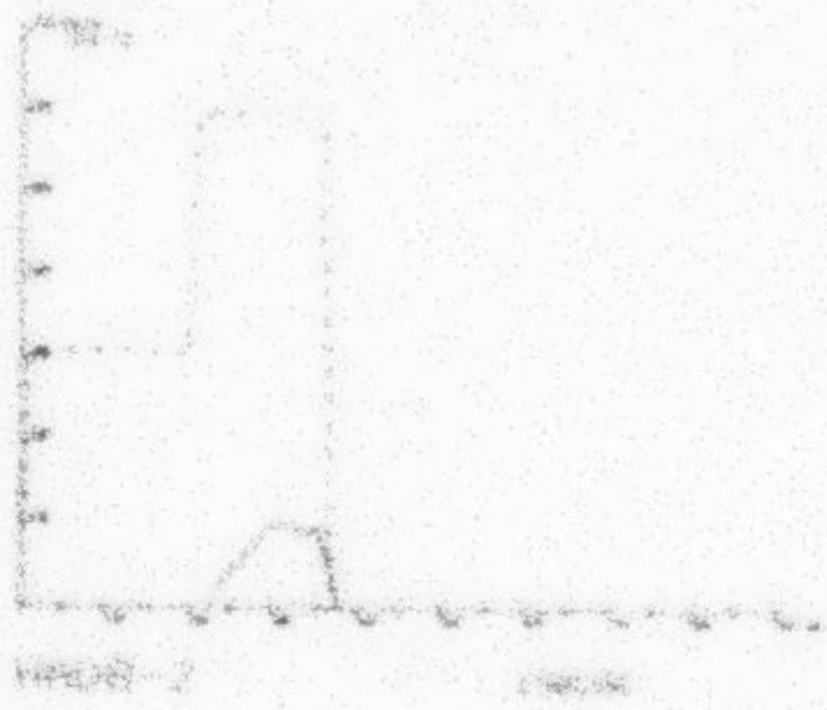
Date : 190766
 Heure (h.mn) : 13.4
 I d. r (cm. s) : 22
 ht d. r (cm) : 0.3
 Vol. ech (ml) : 0
 Nbre souches : 2
 Nbre prelev : 0
 I fin r (cm) : 38

Observations sur les sols

sol

NO SEC	DUREE (mn)	INTENSITE (cm/s)	HAUTEUR (cm)
1	20.0	11.0	10.3
2	18.0	60.0	16.0

TEMPS (mn)	HAUTEUR (cm)	TEMPS (mn)	INTENSITE (cm/s)	INCHT SEC (cm/s)
22	0.3	22	0.3	0.0
23	0.7	23	2.3	0.0
24	1.2	24	3.0	0.0
25	2.0	25	4.0	0.0
26	3.4	26	6.0	0.0
27	4.0	27	6.0	0.0
28	5.4	28	8.4	0.0
29	6.3	29	9.0	0.0
30	8.0	30	11.0	0.0
31	10.5	31	10.7	0.0
32	12.0	32	9.0	0.0
33	13.8	33	11.0	0.0
34	15.0	34	9.0	0.0
35	16.0	35	10.0	0.0
36	18.0	36	10.7	0.0
37	18.1	37	9.0	0.0
38	19.4	38	1.0	0.0
		39	0.0	0.0



NO	SEC	CLASSED	EXTENS	WALTERS	UNCLASS	PT	MS	CLASS	W	CLASS
		(100)	(100)	(100)	(100)	(100)	(100)	(100)	(100)	(100)
1	22.2	27.2	18.2	8.2	12.2	8.2	8.2	10.2	8.2	8.2
2	16.8	48.2	10.2	2.2	2.2	24.2	21.2	14.2	8.2	8.2
TOT.	39.0	75.4	28.4	1.2	14.4	32.4	29.4	24.4	16.4	16.4

WALTERS BY CASSETTE NO 100
 100 100 100

THE UNIVERSITY OF CHICAGO
LIBRARY

ANNUAL REPORT 1923
Table 2

1923
1922
1921
1920
1919
1918
1917
1916
1915
1914
1913
1912
1911
1910
1909
1908
1907
1906
1905
1904
1903
1902
1901
1900

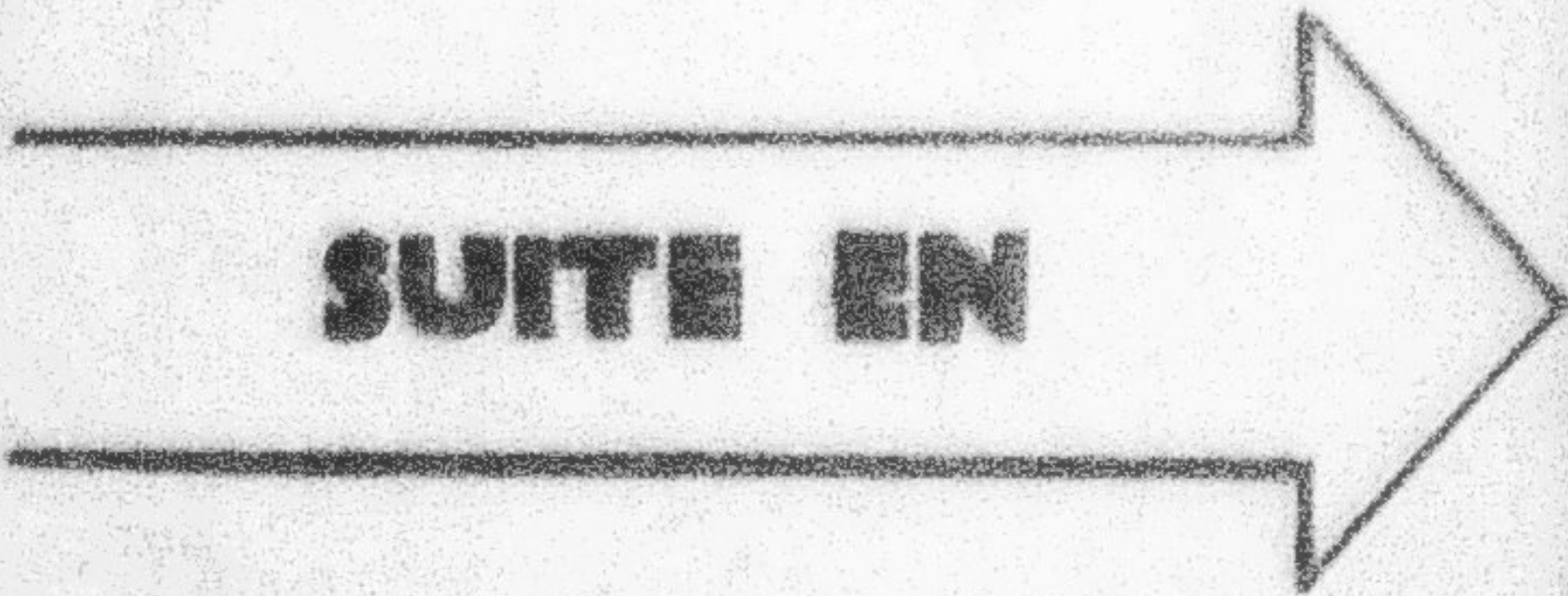
1923
1922
1921
1920
1919
1918
1917
1916
1915
1914
1913
1912
1911
1910
1909
1908
1907
1906
1905
1904
1903
1902
1901
1900

1923
1922
1921
1920
1919
1918
1917
1916
1915
1914
1913
1912
1911
1910
1909
1908
1907
1906
1905
1904
1903
1902
1901
1900

1923
1922
1921
1920
1919
1918
1917
1916
1915
1914
1913
1912
1911
1910
1909
1908
1907
1906
1905
1904
1903
1902
1901
1900

1923
1922
1921
1920
1919
1918
1917
1916
1915
1914
1913
1912
1911
1910
1909
1908
1907
1906
1905
1904
1903
1902
1901
1900

1923
1922
1921
1920
1919
1918
1917
1916
1915
1914
1913
1912
1911
1910
1909
1908
1907
1906
1905
1904
1903
1902
1901
1900



SUITE EN

F 2



MICROFICHE N°

04482

République Tunisienne

MINISTÈRE DE L'AGRICULTURE

CENTRE NATIONAL DE

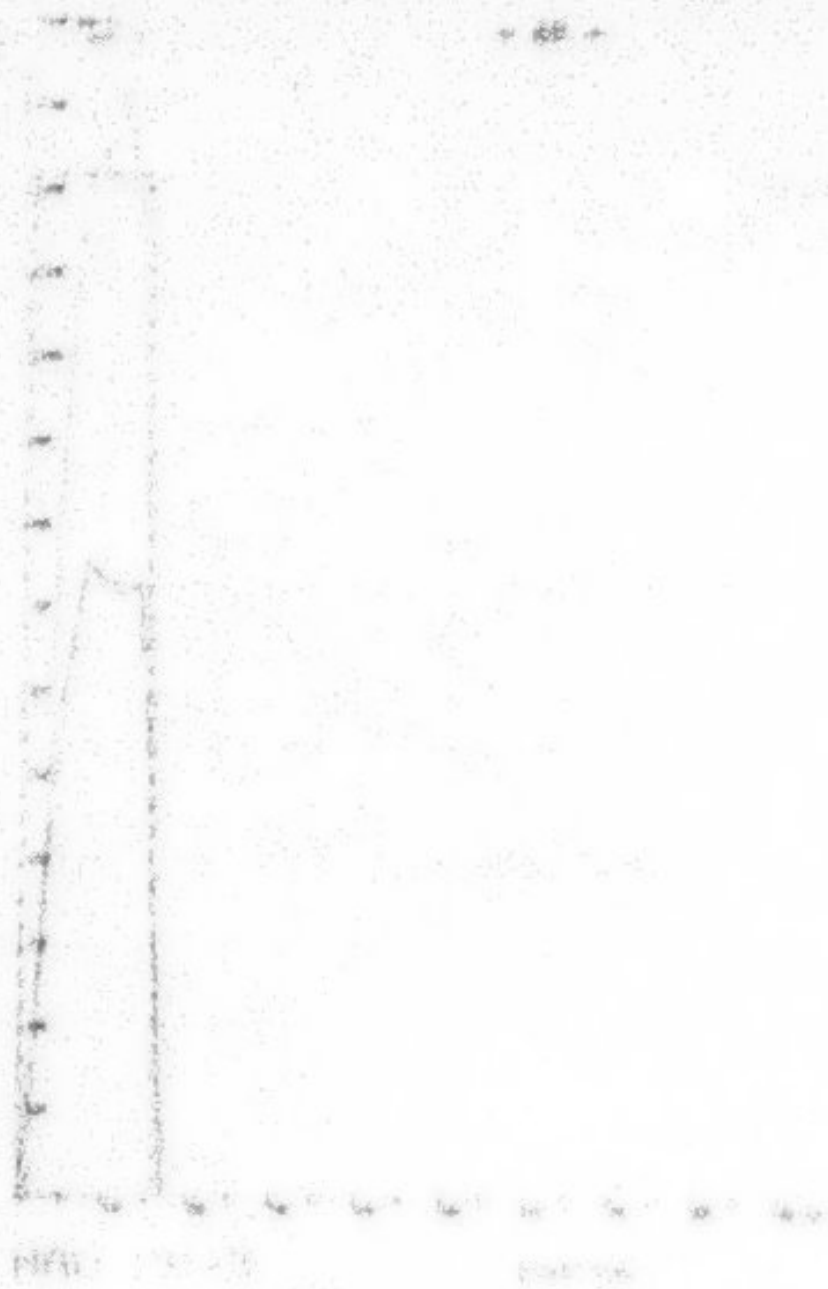
DOCUMENTATION AGRICOLE

TUNIS

الجمهورية التونسية
وزارة الزراعة

المركز القومي
للتوثيق الفلاحي
تونس

F 2



NO.	DATE	TIME	TEMP.	WIND	MOON	SEA	WAVE	WIND	TEMP.
1	12.0	12.5	30.0	15.0	0.0	0.0	0.0	0.0	40.0

REMARKS: ...

Year	Amount
1950	100.00
1951	100.00
1952	100.00
1953	100.00
1954	100.00
1955	100.00
1956	100.00
1957	100.00
1958	100.00
1959	100.00
1960	100.00

MANAGEMENT AND FINANCE

Year	Revenue	Expenses	Surplus
1950	100.00	80.00	20.00
1951	100.00	80.00	20.00
1952	100.00	80.00	20.00

Year	Assets	Liabilities	Equity
1950	100.00	80.00	20.00
1951	100.00	80.00	20.00
1952	100.00	80.00	20.00

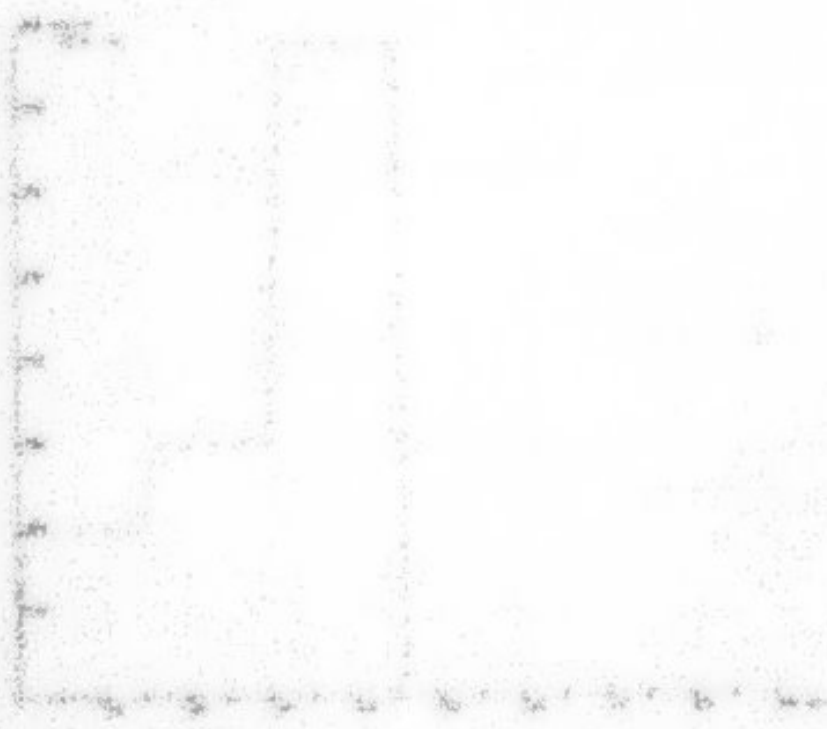
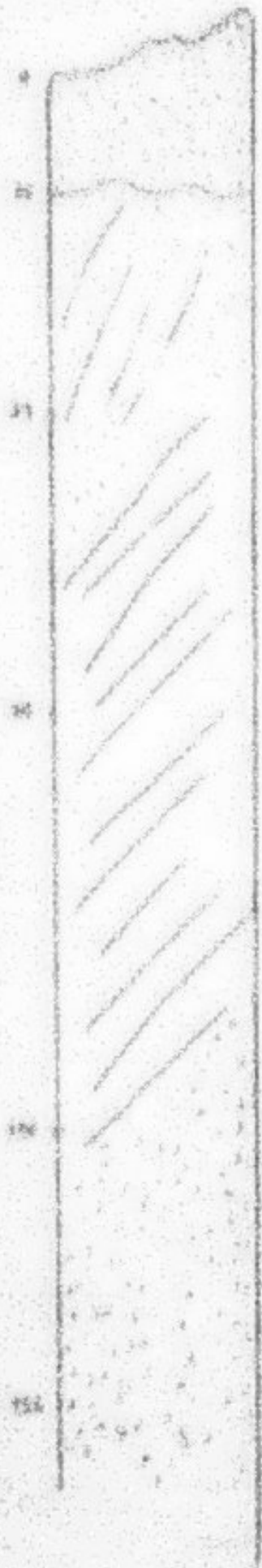


Figure 1: Financial Summary

Year	Revenue	Expenses	Surplus	Assets	Liabilities	Equity
1950	150.00	100.00	50.00	150.00	100.00	50.00
1951	150.00	100.00	50.00	150.00	100.00	50.00
1952	150.00	100.00	50.00	150.00	100.00	50.00
1953	150.00	100.00	50.00	150.00	100.00	50.00

Summary of financial data for the period 1950-1953.

BOL. DO INSTITUTO - PARANÁ -
Descriptiva morfológica



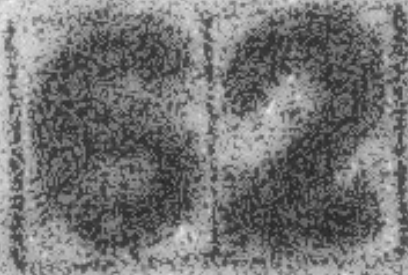
- 0 - 15 cm : horizon de latérite, 1,5 TR 4/4 (cas), 1,5 TR 5/5 (mouille), sableux à subcristallin, structure polyédrique subanguleuse peu développée, peu calcifiée, nombreuses racines fines et moyennes, transition nette.
- 15 - 25 cm : 1,5 TR 4/4 (cas), 1,5 TR 4/6 (mouille), cristallin structure polyédrique à massive, calcifié, quelques calcéoles biológicas, quelques nodules calcifiés dispersés, racines fines et moyennes, transition progressive.
- 25 - 50 cm : 1,5 TR 3/4 (cas), 1,5 TR 5/6 (mouille) lixiviel structure massive à foliote anguleuse, calcifié, quelques nodules calcifiés dispersés, racines moyennes, transition progressive.
- 50 - 100 cm : 1,5 TR 6/6 (cas), 1,5 TR 5/6 (mouille) lixiviel structure massive, filaments grossiers (calcifiés) peu nombreux, quelques nodules, racines moyennes peu nombreuses.
- 100 - 115 cm : gise calcifié, cristallin, structure massive, calcifié, nodules calcifiés.

FICHE ANALYTIQUE

101
102
103

104	105	106	107	108	109	110	111	112	113
114	115	116	117	118	119	120	121	122	123
124	125	126	127	128	129	130	131	132	133
134	135	136	137	138	139	140	141	142	143
144	145	146	147	148	149	150	151	152	153
154	155	156	157	158	159	160	161	162	163
164	165	166	167	168	169	170	171	172	173
174	175	176	177	178	179	180	181	182	183
184	185	186	187	188	189	190	191	192	193
194	195	196	197	198	199	200	201	202	203
204	205	206	207	208	209	210	211	212	213
214	215	216	217	218	219	220	221	222	223
224	225	226	227	228	229	230	231	232	233
234	235	236	237	238	239	240	241	242	243
244	245	246	247	248	249	250	251	252	253
254	255	256	257	258	259	260	261	262	263
264	265	266	267	268	269	270	271	272	273
274	275	276	277	278	279	280	281	282	283
284	285	286	287	288	289	290	291	292	293
294	295	296	297	298	299	300	301	302	303
304	305	306	307	308	309	310	311	312	313
314	315	316	317	318	319	320	321	322	323
324	325	326	327	328	329	330	331	332	333
334	335	336	337	338	339	340	341	342	343
344	345	346	347	348	349	350	351	352	353
354	355	356	357	358	359	360	361	362	363
364	365	366	367	368	369	370	371	372	373
374	375	376	377	378	379	380	381	382	383
384	385	386	387	388	389	390	391	392	393
394	395	396	397	398	399	400	401	402	403
404	405	406	407	408	409	410	411	412	413
414	415	416	417	418	419	420	421	422	423
424	425	426	427	428	429	430	431	432	433
434	435	436	437	438	439	440	441	442	443
444	445	446	447	448	449	450	451	452	453
454	455	456	457	458	459	460	461	462	463
464	465	466	467	468	469	470	471	472	473
474	475	476	477	478	479	480	481	482	483
484	485	486	487	488	489	490	491	492	493
494	495	496	497	498	499	500	501	502	503
504	505	506	507	508	509	510	511	512	513
514	515	516	517	518	519	520	521	522	523
524	525	526	527	528	529	530	531	532	533
534	535	536	537	538	539	540	541	542	543
544	545	546	547	548	549	550	551	552	553
554	555	556	557	558	559	560	561	562	563
564	565	566	567	568	569	570	571	572	573
574	575	576	577	578	579	580	581	582	583
584	585	586	587	588	589	590	591	592	593
594	595	596	597	598	599	600	601	602	603
604	605	606	607	608	609	610	611	612	613
614	615	616	617	618	619	620	621	622	623
624	625	626	627	628	629	630	631	632	633
634	635	636	637	638	639	640	641	642	643
644	645	646	647	648	649	650	651	652	653
654	655	656	657	658	659	660	661	662	663
664	665	666	667	668	669	670	671	672	673
674	675	676	677	678	679	680	681	682	683
684	685	686	687	688	689	690	691	692	693
694	695	696	697	698	699	700	701	702	703
704	705	706	707	708	709	710	711	712	713
714	715	716	717	718	719	720	721	722	723
724	725	726	727	728	729	730	731	732	733
734	735	736	737	738	739	740	741	742	743
744	745	746	747	748	749	750	751	752	753
754	755	756	757	758	759	760	761	762	763
764	765	766	767	768	769	770	771	772	773
774	775	776	777	778	779	780	781	782	783
784	785	786	787	788	789	790	791	792	793
794	795	796	797	798	799	800	801	802	803
804	805	806	807	808	809	810	811	812	813
814	815	816	817	818	819	820	821	822	823
824	825	826	827	828	829	830	831	832	833
834	835	836	837	838	839	840	841	842	843
844	845	846	847	848	849	850	851	852	853
854	855	856	857	858	859	860	861	862	863
864	865	866	867	868	869	870	871	872	873
874	875	876	877	878	879	880	881	882	883
884	885	886	887	888	889	890	891	892	893
894	895	896	897	898	899	900	901	902	903
904	905	906	907	908	909	910	911	912	913
914	915	916	917	918	919	920	921	922	923
924	925	926	927	928	929	930	931	932	933
934	935	936	937	938	939	940	941	942	943
944	945	946	947	948	949	950	951	952	953
954	955	956	957	958	959	960	961	962	963
964	965	966	967	968	969	970	971	972	973
974	975	976	977	978	979	980	981	982	983
984	985	986	987	988	989	990	991	992	993
994	995	996	997	998	999	1000	1001	1002	1003

FIN



FIN